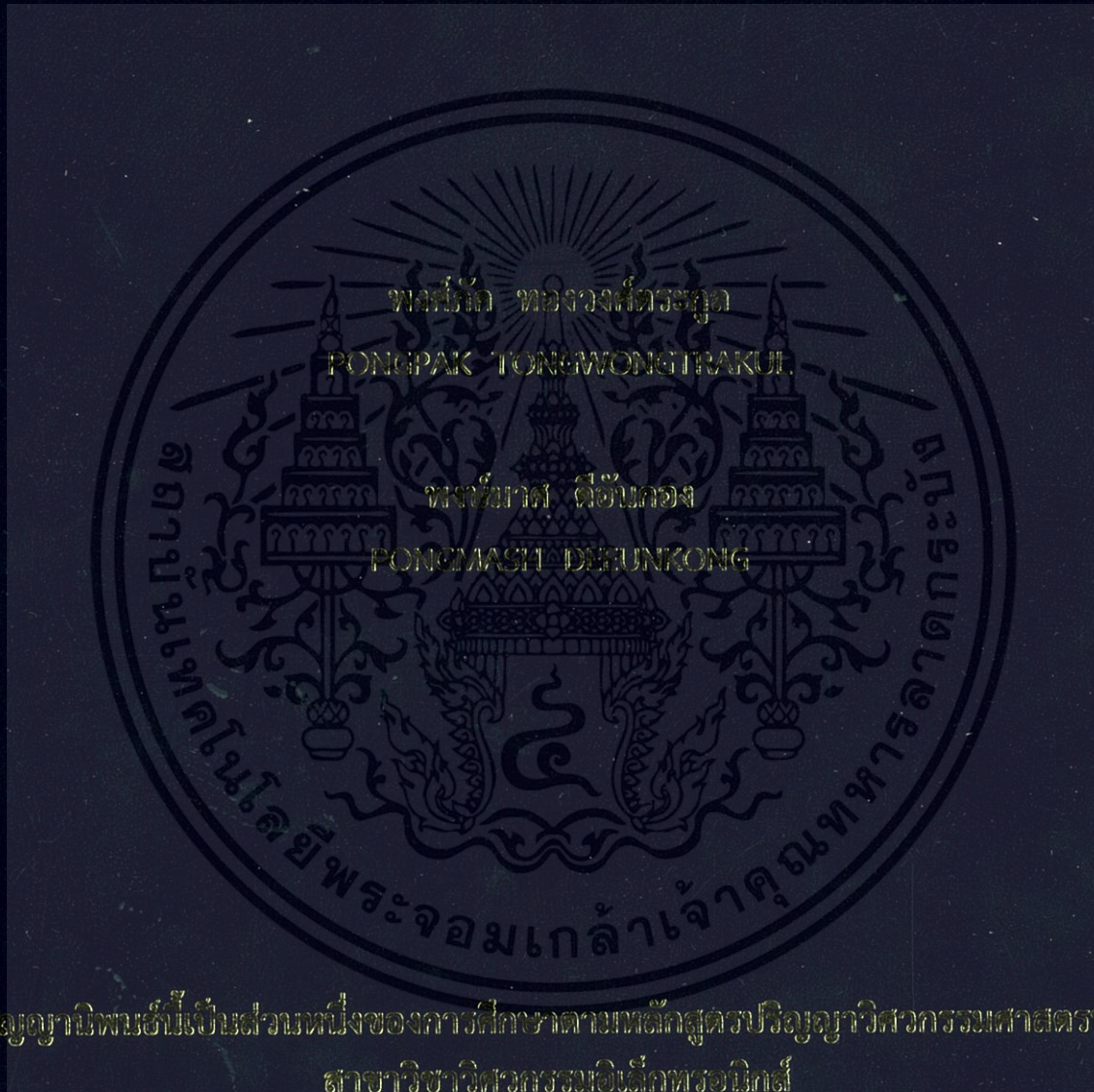


การควบคุมเฮลิคอปเตอร์ 4 ใบพัด

Quad copter control



ปริญญาโทนี้เป็นส่วนหนึ่งของการศึกษาดำเนินการตามหลักสูตรปริญญาวิศวกรรมศาสตรบัณฑิต
สาขาวิชาวิศวกรรมอิเล็กทรอนิกส์

คณะวิศวกรรมศาสตร์

สถาบันเทคโนโลยีพระจอมเกล้าเจ้าคุณทหารลาดกระบัง

พ.ศ.2556

การควบคุมเฮลิคอปเตอร์ 4 ใบพัด

Quad Copter control

โดย

พงศ์ภัค ทองวงศ์ตระกูล

พงษ์มาศ ดีอินกอง

อาจารย์ที่ปรึกษา

อาจารย์ โภศล ชวนขยัน

ปริญญานิพนธ์นี้เป็นส่วนหนึ่งของการศึกษาตามหลักสูตรปริญญาวิศวกรรมศาสตรบัณฑิต
สาขาวิชาวิศวกรรมอิเล็กทรอนิกส์
คณะวิศวกรรมศาสตร์
สถาบันเทคโนโลยีพระจอมเกล้าเจ้าคุณทหารลาดกระบัง
พ.ศ.2556

เอกสารนี้เป็นเอกสารที่สงวนไว้สำหรับการใช้งานเพื่อการศึกษาเท่านั้น ไม่อนุญาตให้นำไปใช้ประโยชน์ด้านการค้า
ไม่ว่ากรณีใดๆทั้งสิ้น อีกทั้งห้ามมิให้ดัดแปลงเนื้อหา และต้องอ้างอิงถึงเจ้าของเอกสารทุกครั้งที่มีการนำไปใช้

ปริญญาานิพนธ์ ปีการศึกษา 2556

สาขาวิชา วิศวกรรมอิเล็กทรอนิกส์

คณะ วิศวกรรมศาสตร์

สถาบันเทคโนโลยีพระจอมเกล้าเจ้าคุณทหารลาดกระบัง

เรื่อง การควบคุมเฮลิคอปเตอร์ 4 ใบพัด


Quad Copter control

ผู้จัดทำ นาย พงศ์ภักดิ์ ทองวงศ์ตระกูล รหัสนักศึกษา 53011033

นาย พงษ์มาศ ตีอังกอง รหัสนักศึกษา 53011039

ปริญญาานิพนธ์นี้ผ่านการตรวจสอบโดยอาจารย์ที่ปรึกษาแล้ว




(.....)
อาจารย์ที่ปรึกษา

เอกสารนี้เป็นเอกสารที่สงวนไว้สำหรับการใช้งานเพื่อการศึกษาเท่านั้น ไม่อนุญาตให้นำไปใช้ประโยชน์ด้านการค้า
ไม่ว่ากรณีใดๆทั้งสิ้น อีกทั้งห้ามมิให้ดัดแปลงเนื้อหา และต้องอ้างอิงถึงเจ้าของเอกสารทุกครั้งที่มีการนำไปใช้

หัวข้อปริญญานิพนธ์	การควบคุมเฮลิคอปเตอร์ 4 ใบพัด
นักศึกษา	นาย พงศ์ภักดิ์ ทองวงศ์ตระกูล รหัสนักศึกษา 53011033
	นาย พงษ์มาศ ดีอังกอง รหัสนักศึกษา 53011039
ปริญญา	วิศวกรรมศาสตรบัณฑิต
สาขาวิชา	วิศวกรรมอิเล็กทรอนิกส์
ปีการศึกษา	2556
อาจารย์ที่ปรึกษาปริญญานิพนธ์	อาจารย์ โกศล ชวนขยัน

บทคัดย่อ

โครงการนี้เป็นการประยุกต์ใช้ระบบไมโครคอนโทรลเลอร์เพื่อควบคุมเครื่องบินสี่ใบพัดโดยอาศัยอินพุตจากเซนเซอร์ได้แก่อิมูโนสโคป(Gyroscope) เป็นเซนเซอร์ในการวัดความเร็วเชิงมุมและตัววัดความเร่ง (Accelerometer) เป็นเซนเซอร์ในการวัดความเร่งเพื่อให้ไมโครคอนโทรลเลอร์ทำหน้าที่รักษาระดับการบินและควบคุมทิศทางการบินจากการประมวลผลข้อมูลที่ได้จากเซนเซอร์อิมูโนสโคปตัววัดความเร่ง

Thesis Title	Quad Copter control	
Student	Mr. Pongpak Tongwongtrakul	53011033
	Mr. Pongmash Deeunkong	53011039
Degree	Bachelor of Engineering	
Program	Electronics Engineering	
Year	2013	
Thesis Advisor	Mr. Kosol chuankayun	

Abstract

This project applied the microcontroller system to control the Quad Copter by using input from sensors which are Gyroscope sensor and Accelerometer. Gyroscope sensor is the sensor used to measure angular velocity and accelerometer sensor is the sensor that measure acceleration. Microcontroller keeps balancing and control Quad Copter by calculating data from gyroscope and accelerometer.

กิตติกรรมประกาศ

ปริญญาานิพนธ์ เรื่องการควบคุมเฮลิคอปเตอร์ 4 ใบพัด สำเร็จได้เป็นอย่างดีด้วยคำแนะนำและคำปรึกษาจากอาจารย์ โกศล ขวนขยัน (อาจารย์ที่ปรึกษา) และ อาจารย์พลผดุง ผดุงกุล ที่ชี้แนะแนวทางที่เป็นประโยชน์ต่อการดำเนินการทำปริญญาานิพนธ์ กลุ่มของข้าพเจ้ารู้สึกทราบบ้างในความกรุณาเป็นอย่างยิ่ง และขอขอบพระคุณเป็นอย่างสูง

ขอขอบพระคุณคณาจารย์ภาควิชาวิศวกรรมอิเล็กทรอนิกส์ คณะวิศวกรรมศาสตร์ สถาบันเทคโนโลยีพระจอมเกล้าเจ้าคุณทหารลาดกระบังทุกท่านที่ได้รับประสิทธิประสาทวิชาความรู้ต่างๆให้คำแนะนำและคำปรึกษาอย่างดีมาโดยตลอด

พงศ์ภาค ทองวงศ์ตระกูล
พงษ์มาศ ดีอันกอง



เอกสารนี้เป็นเอกสารที่สงวนไว้สำหรับการใช้งานเพื่อการศึกษาเท่านั้น ไม่อนุญาตให้นำไปใช้ประโยชน์ด้านการค้า ไม่ว่าจะกรณีใดๆทั้งสิ้น อีกทั้งห้ามมิให้ดัดแปลงเนื้อหา และต้องอ้างอิงถึงเจ้าของเอกสารทุกครั้งที่มีการนำไปใช้

สารบัญ

	หน้า
บทคัดย่อ	I
Abstract	II
กิตติกรรมประกาศ	III
สารบัญ	IV
สารบัญรูป	VI
สารบัญตาราง	VIII
บทที่ 1 บทนำ	1
1.1 ที่มาและความสำคัญ	1
1.2 วัตถุประสงค์	1
1.3 ขอบเขตของโครงการ	1
บทที่ 2 ทฤษฎีและหลักการที่เกี่ยวข้อง	2
2.1 Accelerometer	2
2.2 Gyroscope	5
2.3 การเชื่อมต่ออุปกรณ์แบบ I ² C	7
2.4 KALMAN FILTER ALGORITHM	9
2.5 มอเตอร์ Brushless	14
2.6 เครื่องมือควบคุมความเร็วมอเตอร์แบบอิเล็กทรอนิกส์	16
2.7 ระบบควบคุม PID (Proportional-Integral-Derivative)	18
บทที่ 3 การออกแบบ Quad copter	24
3.1 โครงสร้าง Quad copter	24
3.2 การใช้ Kalman filter ในการคำนวณหาองศา	26
3.3 การสร้าง PWM	31
3.4 ระบบควบคุม PID (Proportional-Integral-Derivative)	32
3.5 อุปกรณ์สำคัญ	34
3.6 วงจรที่ออกแบบ	36
3.7 ตัวเครื่องQuad Copter	37

บทที่ 4 ผลการทดลอง	38
4.1 การทดลองการปรับค่า ระบบ PID (Proportional-Integral-Derivative)	38
4.2 ผลการทดลองการควบคุมการทรงตัวของเฮลิคอปเตอร์ด้วยระบบ PID	38
บทที่ 5 วิเคราะห์และสรุปผลการทดลอง	41
5.1 Kalman filter	41
5.2 การควบคุมด้วยระบบ PID (Proportional-Integral-Derivative)	41
เอกสารอ้างอิง	42
ภาคผนวก	43



เอกสารนี้เป็นเอกสารที่สงวนไว้สำหรับการใช้งานเพื่อการศึกษาเท่านั้น ไม่อนุญาตให้นำไปใช้ประโยชน์ด้านการค้า
ไม่ว่ากรณีใดๆทั้งสิ้น อีกทั้งห้ามมิให้ดัดแปลงเนื้อหา และต้องอ้างอิงถึงเจ้าของเอกสารทุกครั้งที่มีการนำไปใช้

สารบัญรูป

รูปที่		หน้า
รูปที่ 2.1	โครงสร้าง Accelerometer	2
รูปที่ 2.2	ระบบภายใน Accelerometer	2
รูปที่ 2.3	การทำงานของ Accelerometer	3
รูปที่ 2.4	โครงสร้างพื้นฐานของมิเตอร์วัดอัตราเร่งแบบไซซมิกแมส	3
รูปที่ 2.5	โครงสร้างพื้นฐานของมิเตอร์วัดอัตราเร่งแบบเพียโซอิเล็กทริก	5
รูปที่ 2.6	หลักการทำงานของ Gyroscope	6
รูปที่ 2.7	Gyroscope	7
รูปที่ 2.8	รูปแบบการเขียน/อ่านข้อมูลแบบ I ² C BUS	7
รูปที่ 2.9	I ² C BUS START and STOP Conditions	8
รูปที่ 2.10	I ² C BUS (Control Byte)	8
รูปที่ 2.11	การรับส่งบิตข้อมูลของ I ² C BUS	9
รูปที่ 2.12	ตัวอย่างการสุ่มตัวแปร W_k	10
รูปที่ 2.13	Kalman Filter algorithm	13
รูปที่ 2.14	โครงสร้างของ มอเตอร์ Brushless(ซ้าย) และโครงสร้างของ มอเตอร์ Brushless(ขวา)	14
รูปที่ 2.15	การทำงานของมอเตอร์ Brushless	15
รูปที่ 2.16	Electronic Speed Controller: ESC	16
รูปที่ 2.17	รูปอุปกรณ์ภายใน Electronic Speed Controller	16
รูปที่ 2.18	วงจรภายใน Electronic Speed Controller	17
รูปที่ 2.19	สัญญาณ PWM ที่เป็น Input ของ Electronic Speed Controller	17
รูปที่ 2.20	บล็อกไดอะแกรม การทำงาน Electronic Speed Controller	17
รูปที่ 2.21	แสดงการทำงานและสัญญาณที่ได้จากการควบคุมของ Electronic Speed Controller	18
รูปที่ 2.22	วงจร Driver ภายใน Electronic Speed Controller ในแต่ละเฟสของมอเตอร์	18
รูปที่ 2.23	Block diagram ของคอนโทรลเลอร์แบบ PID	19
รูปที่ 2.24	PV vs time โดยเปลี่ยนค่า Kp (ค่า Ki และ Kd คงที่)	20
รูปที่ 2.25	PV vs time โดยเปลี่ยนค่า Ki (ค่า Kp และ Kd คงที่)	21
รูปที่ 2.26	PV vs time โดยเปลี่ยนค่า Kd (ค่า Kp และ Ki คงที่)	21
รูปที่ 3.1	โครงสร้างพื้นฐานของ Quad copter	24

รูปที่ 3.2	ลักษณะการบินของ Quad copter	25
รูปที่ 3.3	ลักษณะการบินของ Quad copter	25
รูปที่ 3.4	เวกเตอร์ต่างๆ	26
รูปที่ 3.5	โพลชาร์ตการทำงานของ Algorithm	30
รูปที่ 3.6	สัญญาณ PWM ที่มอเตอร์เริ่มหมุน	31
รูปที่ 3.7	สัญญาณ PWM ที่ตัวเครื่อง Quad copter เริ่มยกตัวขึ้นจากพื้นได้	32
รูปที่ 3.8	ระบบควบคุม	32
รูปที่ 3.9	โพลชาร์ตการทำงานของระบบ	33
รูปที่ 3.10	มอเตอร์กระแสตรงแบบไร้แปรงถ่าน	34
รูปที่ 3.11	เครื่องมือควบคุมความเร็วมอเตอร์	34
รูปที่ 3.12	ใบพัด	35
รูปที่ 3.13	แบตเตอรี่	35
รูปที่ 3.14	เซนเซอร์ MPU-6050	35
รูปที่ 3.15	PIC 18F46K80	36
รูปที่ 3.16	วงจรที่ออกแบบ	36
รูปที่ 3.17	ตัวเครื่องที่ประกอบเสร็จ	37
รูปที่ 3.18	การต่ออุปกรณ์ทำการทดลองการควบคุมด้วยระบบ PID	37

สารบัญตาราง

ตารางที่	หน้า
ตารางที่ 4.1 ผลการทดลองหาค่า Gain ที่เหมาะสม	38
ตารางที่ 4.2 ผลการทดลองการควบคุมการทรงตัวของเฮลิคอปเตอร์ด้วยระบบ PID	39



บทที่ 1

บทนำ

1.1 ที่มาและความสำคัญ

ปัจจุบันการพัฒนาเครื่องบินที่สามารถบินนิ่งในอากาศถูกพัฒนาขึ้นอย่างแพร่หลายซึ่งมีรูปแบบในการพัฒนาที่แตกต่างกัน โดยใช้จำนวนใบพัดตั้งแต่หนึ่งใบพัดไปจนถึงแปดใบพัด รูปแบบของเครื่องบินมีผลต่อการควบคุมและการเคลื่อนที่ในอากาศ ในการบินจำเป็นต้องอาศัยระบบไมโครคอนโทรลเลอร์ประมวลผลเพื่อควบคุมการทำงานจึงเป็นการประยุกต์ใช้ระบบไมโครคอนโทรลเลอร์ออกแบบและสร้างเครื่องบินเพื่อให้ทราบถึงหลักการทำงานของเครื่องบินและทำการศึกษาปัจจัยต่าง ๆ ที่มีผลต่อการบิน เพื่อนำไปพัฒนาต่อยอดเป็นเครื่องบินที่มีความสามารถต่าง ๆ เช่น UAV (Unmanned Aerial Vehicle) ที่สามารถบินสำรวจพื้นที่ หรือเครื่องบินที่สามารถถ่ายภาพทางอากาศได้ต่อไป

1.2 วัตถุประสงค์

1. เพื่อออกแบบและสร้าง Quad copter ที่มีความสมดุล โดยควบคุมผ่านระบบไมโครคอนโทรลเลอร์
2. เพื่อประยุกต์ใช้งานเซ็นเซอร์ ได้แก่ ไจโรสโคป (Gyroscope) และ ตัววัดความเร่ง (Accelerometer)
3. เพื่อศึกษาและออกแบบระบบควบคุม PID (Proportional-Integral-Derivative)
4. เพื่อศึกษาและใช้งาน Kalman filter
5. เพื่อศึกษาการทำงานของ Microcontroller

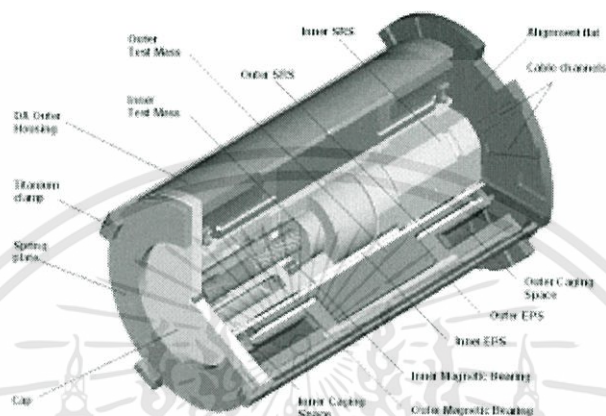
1.3 ขอบเขตของโครงการ

ออกแบบและสร้างอากาศยานเฮลิคอปเตอร์สี่ใบพัดเพื่อให้สามารถบินและทรงตัวอยู่ได้กลางอากาศ โดยใช้ Kalman filter มาเพื่อกรองข้อมูลที่ได้จากเซ็นเซอร์ แล้วนำไปเข้าระบบ PID เพื่อควบคุมความเร็วของมอเตอร์ Brushless การควบคุมมอเตอร์ Brushless นั้นควบคุมโดยการสร้างสัญญาณ PWM (Pulse-width modulation) ส่งไปยัง ESC (Electronic speed control) เพื่อไปหมุนมอเตอร์ Brushless

บทที่ 2

ทฤษฎีที่เกี่ยวข้อง

2.1 Accelerometer



รูปที่ 2.1 โครงสร้าง Accelerometer

Accelerometer คือ เครื่องวัดความเร่ง ของการเคลื่อนที่ของวัตถุ โครงสร้างของ accelerometer จะประกอบด้วยสปริงและลูกตุ้มน้ำหนัก เมื่อมีการเคลื่อนที่ด้วยความเร่งลูกตุ้มน้ำหนักจะถูกกดไปอีกฝั่งตรงข้ามกับการเคลื่อนที่ สปริงก็ทำหน้าที่ดึงกลับเข้าที่อีกครั้งเมื่อหยุดการเคลื่อนที่ การเคลื่อนที่ด้วยความเร็วคงที่คือความเร่งเท่ากับศูนย์ ค่าที่วัดได้ก็จะไม่เปลี่ยนแปลง

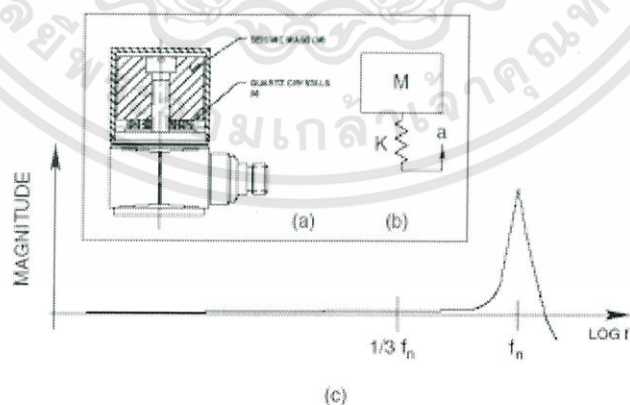


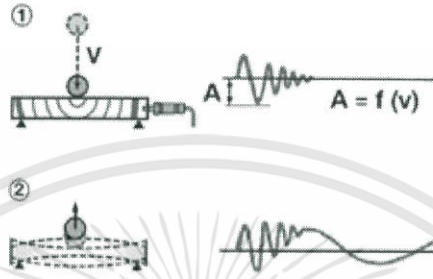
Figure 2: The accelerometer as a spring-mass system

รูปที่ 2.2 ระบบภายใน Accelerometer

เอกสารนี้เป็นเอกสารที่สงวนไว้สำหรับการใช้งานเพื่อการศึกษาเท่านั้น ไม่อนุญาตให้นำไปใช้ประโยชน์ด้านการค้า ไม่ว่าจะกรณีใดๆทั้งสิ้น อีกทั้งห้ามมิให้ดัดแปลงเนื้อหา และต้องอ้างอิงถึงเจ้าของเอกสารทุกครั้งที่มีการนำไปใช้

ส่วนตัวเซ็นเซอร์ภายใน ที่จะใช้ในการตรวจวัดความเร่งของลูกตุ้มที่อยู่ในระบบนั้นมีหลายชนิด เช่น เพียโซอิเล็กทริก, สเตรนเกจ, ชนิดใช้แสงตรวจวัด, วัดแรงเฉือน เป็นต้น โดยที่สามารถแบ่งลักษณะการตรวจวัดได้ 2 ลักษณะ

1. การตรวจวัดการช็อก (shock) และการสั่นสะเทือน (vibration) ซึ่ง
 - *การช็อก คือ อัตราเร่งขนาดมหึมาที่เกิดขึ้นในช่วงเวลาสั้นๆ
 - *การสั่นสะเทือน คือ อัตราเร่งขนาดเล็กที่เกิดขึ้นซ้ำกันไปเรื่อยๆ



รูปที่ 2.3 การทำงานของ Accelerometer

2. การตรวจวัดอัตราเร่งของวัตถุ เพื่อนำข้อมูลไปใช้ในการระบุตำแหน่ง ความเร็ว และระยะทางที่ได้จากการเคลื่อนที่

มิเตอร์วัดความเร่งนี้โดยหลักๆแล้วจะแบ่งเป็น 2 ชนิด

- มิเตอร์วัดอัตราเร่งแบบไซสมิกแมส (seismic mass accelerometer) มิเตอร์ชนิดนี้อาศัยหลักการตรวจวัดระยะขจัดเชิงเส้นแล้วนำไปคำนวณหาอัตราเร่งที่เกิดขึ้นโดยเทคนิคดังกล่าวสามารถอธิบายง่ายๆ ได้ก็คือ วัตถุชิ้นหนึ่งจะมีความเร่งได้ ก็จะต้องมีแรงมากกระทำยังมีแรงมากกระทำมาก ก็จะมีแรงมาก ในขณะเดียวกันแรงต้านการเคลื่อนที่ก็จะมากด้วย นอกจากนี้เมื่อมีแรงมาทำให้วัตถุเกิดการเคลื่อนที่ ก็จะมีระยะขจัด ซึ่งก็จะแปรผันตรงกับแรงที่มากกระทำที่วัตถุ ยิ่งแรงมากระยะขจัดยิ่งมาก จากความสัมพันธ์ดังกล่าวได้นำไปใช้เป็นหลักการพื้นฐานของมิเตอร์วัดอัตราเร่งแบบไซสมิกแมส ในการตรวจวัดอัตราเร่งของวัตถุในเทอมของระยะขจัดที่เกิดขึ้น

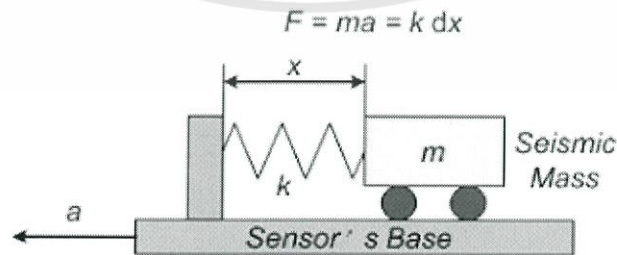


Fig-1 A spring-mass system

รูปที่ 2.4 โครงสร้างพื้นฐานของมิเตอร์วัดอัตราเร่งแบบไซสมิกแมส

เอกสารนี้เป็นเอกสารที่สงวนไว้สำหรับการใช้งานเพื่อการศึกษาเท่านั้น ไม่อนุญาตให้นำไปใช้ประโยชน์ด้านการค้า ไม่ว่ากรณีใดๆทั้งสิ้น อีกทั้งห้ามมิให้ดัดแปลงเนื้อหา และต้องอ้างอิงถึงเจ้าของเอกสารทุกครั้งที่มีการนำไปใช้

จากรูป แสดงโครงสร้างพื้นฐานของมิเตอร์วัดอัตราเร่งแบบไซซมิกแมส โครงสร้างนี้มีมวล m ที่เรียกว่ามวลตรวจการสั่นไหว (seismic mass) ยึดติดอยู่กับสปริงที่มีค่า spring constant เท่ากับ k และมวลนี้สามารถเคลื่อนที่ในแนวระดับได้ ซึ่งหลักการทำงานก็ง่ายๆ ไม่ได้ซับซ้อนอะไร

เมื่อตัวเซนเซอร์ตัวนี้ถูกทำให้มีอัตราเร่งเกิดขึ้นจะส่งผลให้มวล m เคลื่อนที่ ซึ่งระยะที่เคลื่อนที่ออกไปจะเป็นระยะขจัดเท่ากับ x และมีทิศทางตรงกันข้ามกับการเคลื่อนที่ของตัวมิเตอร์ ดังนั้นอัตราเร่ง a ของวัตถุสามารถคำนวณค่าได้จากความสัมพันธ์ต่อไปนี้

$$a = xk/m \quad \text{โดยที่}$$

a คือ อัตราเร่งของวัตถุ หน่วย เมตร/วินาที

x คือ ระยะขจัดของมวล m หน่วย เมตร

k คือ ค่าคงที่ของสปริง หน่วย นิวตัน/เมตร

m คือ น้ำหนักของมวล m หน่วย กิโลกรัม

จากสมการดังกล่าวจะแสดงให้เห็นว่า

-เมื่ออัตราเร่งของวัตถุมีค่าเพิ่มขึ้น ทำให้ระยะขจัดของมวล m มีค่าเพิ่มขึ้นตามไปด้วย

-เมื่ออัตราเร่งของวัตถุมีค่าลดลง ทำให้มวล m เคลื่อนที่ไปดันสปริง

-เมื่ออัตราเร่งของวัตถุหยุดลง ก็จะทำให้มวล m เคลื่อนที่กลับมาอยู่ตำแหน่งเดิม

(ตำแหน่งอ้างอิง)

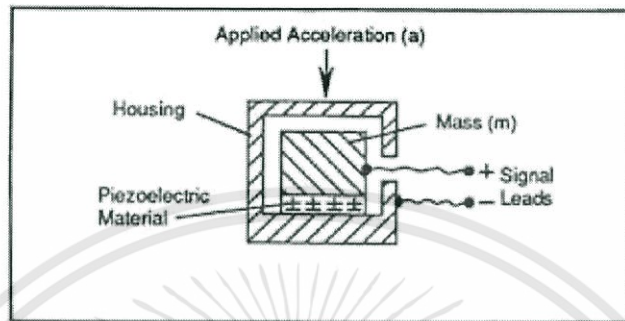
แต่ในทางปฏิบัติเราสามารถวัดระยะขจัดของมวล m ได้โดยอาศัยมิเตอร์อีกชนิดหนึ่ง คือมิเตอร์วัดระยะขจัดเชิงเส้น (LVDT, potentiometer)

ส่วนการวิเคราะห์หาค่าอัตราเร่งที่เกิดขึ้นเราสามารถคำนวณหาได้โดยใช้คอมพิวเตอร์ มิเตอร์วัดอัตราเร่งแบบไซซมิกแมสนี้จะนิยมใช้ในการตรวจวัดลักษณะการช็อกและลักษณะการสั่นสะเทือนที่มีความถี่ต่ำมากๆ เช่น ในเครื่องมือตรวจวัดแผ่นดินไหว หรือในเครื่องมือตรวจวัดการปะทุใต้ดินของภูเขาไฟ ฯลฯ

- มิเตอร์วัดอัตราเร่งแบบเพียโซอิเล็กทริก (piezoelectric accelerometer)

คุณสมบัติพื้นฐานทางไฟฟ้าของผลึกเพียโซอิเล็กทริก (piezoelectric crystal) ถูกค้นพบโดย Pierre และ Jacques Curie ในราวปี ค.ศ.1880 ซึ่งเจ้า piezoelectric crystal นี้มันมีคุณสมบัติพิเศษ คือ เมื่อมันถูกแรงทางกลมากระทำ มันจะสร้างประจุไฟฟ้าขึ้นมา โดยเป็นส่วนหนึ่งของแรงกระทำนั้น ซึ่งจากคุณสมบัติพิเศษนี้ได้ถูกดัดแปลงนำไปใช้สร้างอุปกรณ์ต่างๆมากมาย เช่น ใช้เป็นแบตเตอรี่จ่ายพลังงานไฟฟ้าให้กับนาฬิกาข้อมือดิจิตอลที่เราใช้ทั่วไป และยังใช้สร้างมิเตอร์วัดอัตราเร่งแบบเพียโซอิเล็กทริกอีกด้วย

โครงสร้างของมอเตอร์วัดอัตราเร่งแบบเพียโซอิเล็กทริกจะประกอบด้วย seismic mass ยึดติดกับ piezoelectric crystal และบรรจุอยู่ในตัวถังป้องกัน โดย piezoelectric crystal ที่นิยมนำมาใช้งาน ได้แก่ ผลึกควอตซ์ และผลึกโซเดียมโพตัสเซียมตาเตรต (sodium potassium tartrate) เพราะมีความทนทานต่อแรงกระทำ และราคาไม่แพงมากนัก



รูปที่ 2.5 โครงสร้างพื้นฐานของมิเตอร์วัดอัตราเร่งแบบเพียโซอิเล็กทริก

จากรูปแสดงโครงสร้างพื้นฐานของมิเตอร์วัดอัตราเร่งแบบเพียโซอิเล็กทริก (piezoelectric accelerometer) สามารถอธิบายการทำงานง่ายๆ ได้ดังนี้

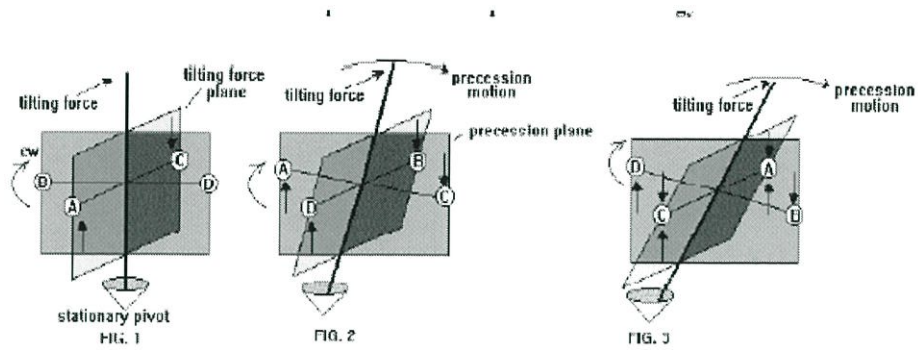
เมื่อ seismic mass (m) ถูกทำให้เกิดอัตราเร่งขึ้น (ถูกกด) มันจะส่งผ่านแรงกดไปกระทำกับ piezoelectric crystal ที่ถูกยึดติดอยู่ด้วยกัน ด้วยคุณสมบัติพิเศษของมันจะทำให้ประจุไฟฟ้าถูกสร้างขึ้น และถูกสายนำสัญญาณออกไปยังเอาต์พุตของวงจร โดยที่ด้านเอาต์พุตจะต้องมีวงจรขยายประจุไฟฟ้า (charge amplifier) เพื่อขยายค่าประจุไฟฟ้าที่ได้ให้เป็นแรงดันเอาต์พุตตามสัดส่วนของอัตราเร่งที่เกิด จะได้สามารถแสดงผลได้ด้วยโวลต์มิเตอร์

2.2 Gyroscope

ไจโรสโคปเป็นเซนเซอร์วัดอัตราการเปลี่ยนแปลงของมุม ซึ่งในงานนี้จะใช้ไจโรสโคปเพื่อวัดอัตราการเปลี่ยนแปลงของมุม ทั้งหมด 3 แกน ได้แก่แกน X Y และ Z

หลักการทำงานของ Gyroscope

จากรูปเราจะแทนที่ขอบด้วย A,B,C,D ทั้งแถบในการดูว่า Gyroscope ทำงานอย่างไร จุดล่างสุดเป็นแกนคองที่แต่สามารถหมุนได้รอบทิศทาง



รูปที่ 2.6 หลักการทำงานของ Gyroscope

เมื่อแรงกระทำ (tilting force) ที่ส่วนบนของแกน Gyroscope จุด A จะเคลื่อนที่ขึ้นตามแนวตั้ง จุด C เคลื่อนลงตามแนวอนพร้อมกัน A และ B หมุนไป 90° เช่นเดียวกับที่เกิดกับ C และ D โดยที่ A นั้นยังคงเคลื่อนขึ้นในตำแหน่ง 90° และ C เคลื่อนลง ผลของการเคลื่อนของ A และ C ทำให้แกนของ Gyro หมุนตามการกระทำของ precession plane เรียกการเกิดขึ้นของลักษณะนี้ว่า precession แกนของ Gyro จะหมุนไปทางมุมขวาเนื่องจากการหมุน ถ้า Gyro ถูกทำให้หมุนทวนเข็มนาฬิกา มันก็จะไปทางมุมซ้าย หมายความว่าแรงกระทำตอนต้นเป็นการดึง

เมื่อ Gyro หมุนไปอีก 90° ตาม Fig. 3 จุด C จะมาแทนจุด A ในจุดที่แรงกระทำไปแล้วครั้งแรก การเคลื่อนที่ลงของจุด C จะถูกต้านโดย tilting force ทำให้แกนของ Gyro ไม่เปลี่ยนแปลง ยังมีแรง tilting กระทำมากขึ้นแกนของ Gyro ก็จะมีแรงดีดกลับมากเมื่อขอบของ precession plane อยู่ที่ 180°

จากข้างต้นทำให้ทราบว่า การหมุนของแกน Gyro เนื่องจากรวมจุด A และ C เคลื่อนที่ขึ้นลง ฉะนั้นเมื่อหมุน Gyro ในทิศทางตรงกันข้ามกับข้างต้นจะเกิดแรงเคลื่อนที่ขึ้นลงมากขึ้น

บางครั้งการเกิดขึ้นของ precession เป็นสิ่งที่ไม่ต้องการ จึงมักมีการสร้าง Gyro แบบมีแกนที่เรียกว่า Gimballed Gyroscope ดังรูป ซึ่งเป็น Gyro พื้นฐานถูกติดตั้งไว้ในระนาบที่ตั้งฉากกับแนวแรง เมื่อหมุนขอบไปทางระนาบ Gimbal พลังงานจะถ่ายเทไปยังขอบโดย tilting force เพื่อหยุดการกระทำนั้น ขอบก็จะหมุนกลับในทิศทางระนาบของแรง tilting แต่ทุกครั้ง Gyro ถูกกระตุ้นแกนจะหมุนไปตามส่วนโค้งในระนาบของแรง tilting โดยที่ไม่มีการเปลี่ยนความเร็วรอบการหมุนของขอบรอบ ๆ แกน

The Gimbaled Gyroscope

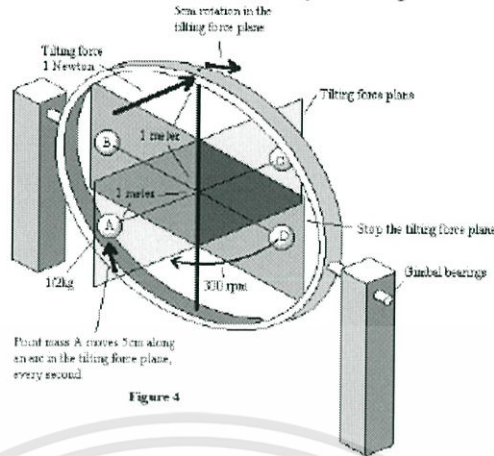


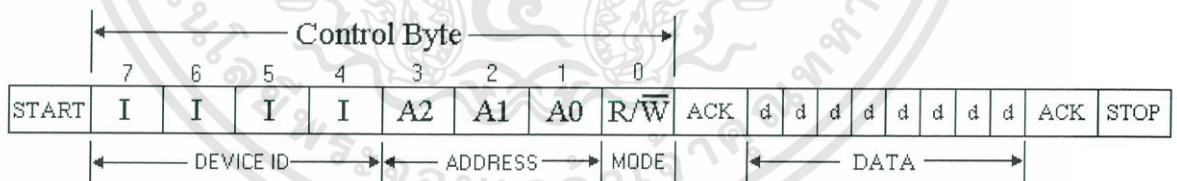
Figure 4

รูปที่ 2.7 Gyroscope

2.3 การเชื่อมต่ออุปกรณ์แบบ I²C

I²C ย่อมาจาก Inter Integrate Circuit Bus (IIC) นิยมเรียกสั้นๆว่า I²C เป็นการสื่อสารอนุกรม แบบซิงโครนัส (Synchronous) เพื่อใช้ ติดต่อสื่อสาร ระหว่าง ไมโครคอนโทรลเลอร์ (MCU) กับอุปกรณ์ภายนอก ซึ่งถูกพัฒนาขึ้นโดยบริษัท Philips Semiconductors โดยใช้สายสัญญาณเพียง 2 เส้นเท่านั้น คือ serial data (SDA) และสาย serial clock (SCL) ซึ่งสามารถ เชื่อมต่ออุปกรณ์จำนวนหลายๆ ตัว เข้าด้วยกันได้ ทำให้ MCU ใช้พอร์ตเพียง 2 พอร์ตเท่านั้น

การเขียน-อ่านข้อมูลกับอุปกรณ์แบบ I²C Bus



รูปที่2.8 รูปแบบการเขียน/อ่านข้อมูลแบบ I²C BUS

การรับ-ส่งข้อมูลแบบ I²C BUS MCU จะเริ่มต้นการส่งข้อมูลด้วยการ

- ส่งสถานะเริ่มต้น (START Conditions) เพื่อแสดงการขอใช้บัส
- แล้วตามด้วย รหัสควบคุม (Control Byte) ซึ่งประกอบ ด้วยรหัส ประจำตัวอุปกรณ์

Device ID, Device Address และ Mode ในการเขียนหรืออ่านข้อมูล

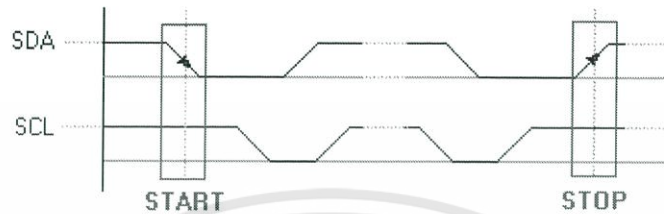
- เมื่ออุปกรณ์ รับทราบว่า MCU ต้องการ จะติดต่อกับก็ต้องส่งสถานะรับรู้ (Acknowledge) หรือแจ้งให้ MCU รับรู้ว่าข้อมูลที่ได้ส่งมามีความถูกต้อง

เอกสารนี้เป็นเอกสารที่สงวนไว้สำหรับการใช้งานเพื่อการศึกษาเท่านั้น ไม่อนุญาตให้นำไปใช้ประโยชน์ด้านการค้า ไม่ว่ากรณีใดๆทั้งสิ้น อีกทั้งห้ามมิให้ดัดแปลงเนื้อหา และต้องอ้างอิงถึงเจ้าของเอกสารทุกครั้งที่มีการนำไปใช้

- และเมื่อสิ้นสุดการส่งข้อมูล MCU จะต้องส่ง สถานะสิ้นสุด (STOP Conditions) เพื่อบอกกับอุปกรณ์ว่า สิ้นสุดการใช้บัส

สถานะบัสว่าง คือเมื่อบัสไม่ได้ถูกใช้งาน ทั้ง SCL และ SDA จะเป็น 1 ทั้งคู่

การกำหนดสถานะเริ่มต้นและสถานะสิ้นสุดของ I²C BUS (START and STOP Conditions)

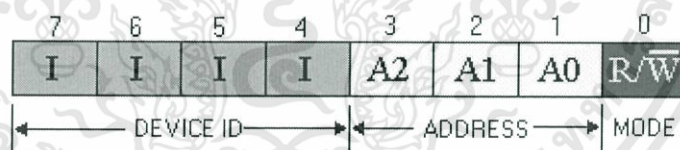


รูปที่ 2.9 I²C BUS START and STOP Conditions

- เมื่อต้องการส่งข้อมูล MCU จะต้องส่งสถานะเริ่มต้น (START Conditions) คือให้ SDA เปลี่ยนจาก 1 มาเป็น 0 ในขณะที่ SCL มีค่าเป็น 1

- เมื่อสิ้นสุดการการใช้บัส MCU จะต้องส่งสถานะสิ้นสุด (STOP Conditions) คือให้ SDA เปลี่ยนจาก 0 มาเป็น 1 ในขณะที่ SCL มีค่าเป็น 1

รหัสควบคุมของ I²C BUS (Control Byte)



รูปที่ 2.10 I²C BUS (Control Byte)

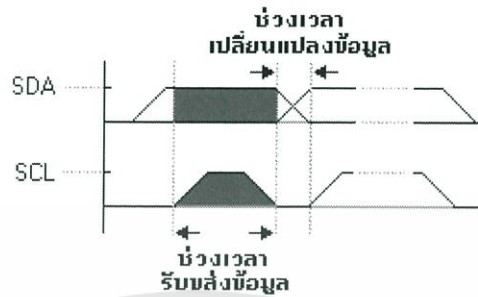
รหัสควบคุมของ I²C BUS ประกอบด้วยรหัสประจำตัวของอุปกรณ์ (Device ID) ประกอบด้วยบิต 1-7 และบิต 0 เป็นบิตควบคุมการเขียนอ่าน

- รหัสประจำตัวของอุปกรณ์ ประกอบด้วยรหัสประจำตัวจากผู้ผลิต Product ID 4 บิต (บิต 4-7) ที่เปลี่ยนแปลงแก้ไขไม่ได้ และ Device Address 3 บิต (บิต 1-3) ซึ่งผู้ใช้ สามารถ กำหนดเองได้ รวมแล้วเป็นรหัส 7 บิต ใช้ระบุตัวอุปกรณ์ ที่ต่ออยู่บนบัส จะมีค่าซ้ำกันไม่ได้

- บิตควบคุมการเขียนอ่าน (Mode) บิต 0 เมื่อ MCU ต้องการเขียนข้อมูลไปยังอุปกรณ์ก็กำหนดให้บิตนี้เป็น 0 และเมื่อต้องการ อ่านข้อมูล จากอุปกรณ์ ก็กำหนดให้บิตนี้เป็น 1

เอกสารนี้เป็นเอกสารที่สงวนไว้สำหรับการใช้งานเพื่อการศึกษาเท่านั้น ไม่อนุญาตให้นำไปใช้ประโยชน์ด้านการค้า ไม่ว่ากรณีใดๆทั้งสิ้น อีกทั้งห้ามมิให้ดัดแปลงเนื้อหา และต้องอ้างอิงถึงเจ้าของเอกสารทุกครั้งที่มีการนำไปใช้

ช่วงเวลารับส่งบิตข้อมูลของ I²C BUS



รูปที่ 2.11 การรับส่งบิตข้อมูลของ I²C BUS

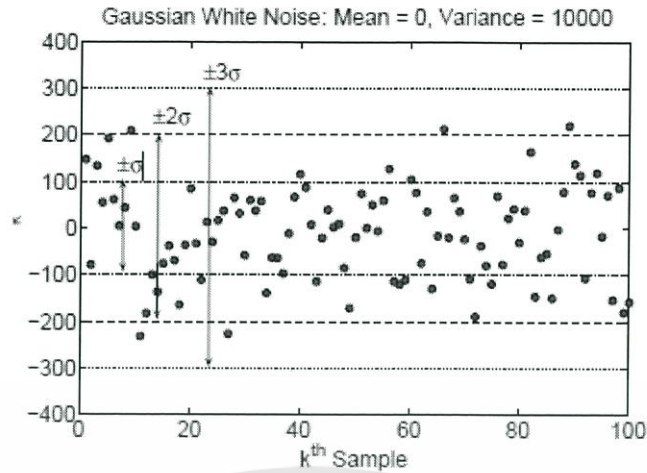
- สภาวะการรับ-ส่งข้อมูล จะกระทำในขณะที่ขา SCL เป็น 1
- สภาวะการเปลี่ยนแปลงข้อมูล จะกระทำในขณะที่ขา SCL เป็น 0

2.4 KALMAN FILTER ALGORITHM

ให้ x_k เป็นตัวแปรใดๆ ณ เวลา t_k ที่เราไม่รู้ค่าแต่ต้องการประมาณค่า ณ เวลา t_0, t_1, \dots, t_k ไปเรื่อยๆ สมมุติว่า x_k เปลี่ยนแปลงตามเวลาตามสมการ

$$x_k = \Phi x_{k-1} + w_k \quad (1)$$

สมการที่ (1) คือแบบจำลองทางคณิตศาสตร์ของระบบเรียกว่า Plant หรือ Process Model เพราะแสดงความสัมพันธ์ว่า x เปลี่ยนแปลงตามเวลาอย่างไร ให้ w_k เป็น Gaussian White Noise มีค่าเฉลี่ย (Mean) เท่ากับ μ และ Variance เท่ากับ Q (ดังนั้น Standard Deviation ของ w_k คือ $\sigma = \sqrt{Q}$) โดยปกติเราจะไม่สามารถบอกด้วยความมั่นใจ 100% ได้ว่าตัวแปรสุ่มจะมีค่าเป็นเท่าไร แต่เนื่องจาก w_k เป็นตัวแปรสุ่มแบบ Gaussian เราจึงสามารถใช้ค่า Mean และ Variance อธิบายเกี่ยวกับ w_k ในเชิงความน่าจะเป็นได้อย่างสมบูรณ์ว่าถ้าสุ่มหลายๆ ครั้ง โดยเฉลี่ย w_k จะมีค่าเท่ากับ μ นอกจากนี้ประมาณ 68%, 95% และ 99% ของค่าของ w_k จากการสุ่มทั้งหมดจะอยู่ในช่วง $\mu \pm \sigma$, $\mu \pm 2\sigma$ และ $\mu \pm 3\sigma$ ตามลำดับ สมมุติให้ $\mu = 0$ และ $Q = 10000$ ภาพที่ 1 แสดงผลของการสุ่มตัวอย่าง w_k 100 ครั้ง



รูปที่ 2.12 ตัวอย่างการสุ่มตัวแปร w_k

ภาพที่ 1 ตัวอย่างการสุ่มตัวแปร w_k จะสังเกตเห็นได้ว่าประมาณ 68%, 95% และ 99% ของ w_k จะอยู่ในช่วง $\pm\sigma$, $\pm 2\sigma$ และ $\pm 3\sigma$ ตามลำดับ ($\mu = 0$) White Noise หมายความว่า w_k ไม่เกี่ยวข้องกับตัวแปรอื่นใดหรือตัวมันเองโดยสิ้นเชิง (Uncorrelated) ดังนั้นแม้ว่าเราจะรู้ค่าของ w ในอดีตหรือค่าของตัวแปรอื่นใด ก็ไม่สามารถใช้ข้อมูลนั้นทำนายค่าของ w_k ในอนาคต (2) ถึง (4) สรุปคุณสมบัติของ w_k ด้วยสูตรทางคณิตศาสตร์ $E[\cdot]$ หมายถึงค่าที่เราคาดว่าตัวแปรจะเป็น (Expected Value)

โดย w_k และ v_k คือ Gaussian White Noise

Mean ของ w_k
$$E[w_k] = 0 \quad (2)$$

Variance ของ w_k
$$E[w_k w_j] = \begin{cases} Q & \text{for } i = j \\ 0 & \text{for } i \neq j \end{cases} \quad (3)$$

Covariance ของ w_k และ v_k
$$E[w_k, v_k] = 0 \quad (4)$$

เนื่องจาก w_k เป็นตัวแปรสุ่มแบบ Gaussian และ (1) เป็นสมการเชิงเส้น (Linear) จึงสรุปได้ว่า x_k เป็นตัวแปรสุ่มแบบ Gaussian ก่อนใช้งาน Kalman Filter เราจำเป็นต้องให้ค่าประมาณของ x และค่าความคลาดเคลื่อนของการประมาณกับ Kalman Filter เพื่อเริ่มต้นกำหนดให้ ความคลาดเคลื่อน $e = x - \hat{x}$ (x และ $\hat{x} = E[x]$ คือค่าที่แท้จริงและค่าประมาณของ x ตามลำดับ) เนื่องจาก x เป็นตัวแปรสุ่มแบบ Gaussian e จึงเป็นตัวแปรสุ่มแบบ Gaussian (ดังนั้นเพื่ออธิบาย e ในเชิงความน่าจะเป็นอย่างสมบูรณ์เราต้องรู้ค่า Mean และ Variance ของ e)

สำหรับตัวอย่างนี้ สมมติให้ $\Phi = 0.8$ และสมมติว่าจากแหล่งข้อมูลที่ดีที่สุดที่มี ทำให้เชื่อได้ว่า ณ เวลาเริ่มต้น x มีค่าเท่ากับ 100 และความคลาดเคลื่อนของการประมาณนี้มีค่า Mean $e_0 = 0$ และ Variance (P_0) เท่ากับ 40000 ดังนั้น เราสามารถเขียนได้ว่า

$$\hat{x}_0 = E[x_0] = 100 \quad (5)$$

$$P_0 = E[(x - \hat{x}_0)^2] = E[(e_0)^2] = 40000 \quad (6)$$

ถ้าเรารู้ว่า W_1 มีค่าเป็นเท่าไรอย่างแน่นอน ก็จะสามารถคาดการณ์ล่วงหน้า (Predict) จาก (1) ได้ว่า X ณ เวลา t_1 จะมีค่าเป็นเท่าไรจาก

$$x_1 = \Phi x_0 + w_1 \quad (7)$$

แต่เนื่องจาก W_k เป็นตัวแปรสุ่มเราจึงไม่มีทางรู้ว่า W_1 จะมีค่าเป็นเท่าไรอย่างแน่นอน Kalman Filter Algorithm บอกเราว่าสามารถหาค่าประมาณที่ดีที่สุดของ X_1 ได้จาก

$$\hat{x}_1^- = E[x_1] = E[\Phi x_0 + w_1] = \Phi E[x_0] + E[w_1] = \Phi \hat{x}_0 \quad (8)$$

เครื่องหมายลบใช้ระบุว่าเป็นการคาดการณ์ล่วงหน้าถึงค่าของ X_1 โดยไม่มีค่าที่เซนเซอร์วัดได้มาประกอบการพิจารณา เราสามารถหาค่า Mean และ Variance ของความคลาดเคลื่อน (Error Variance) ในการคาดการณ์นี้ได้จาก

$$\begin{aligned} E[e_1^-] &= E[x_1 - \hat{x}_1^-] = E[\Phi x_0 + w_1 - \Phi \hat{x}_0] \\ &= E[\Phi(x_0 - \hat{x}_0) + w_1] = \Phi E[e_0] + E[w_1] = 0 \end{aligned} \quad (9)$$

$$\begin{aligned} P_1^- &= E[(x_1 - \hat{x}_1^-)^2] = E[(e_1^-)^2] = E[(\Phi e_0 + w_1)^2] \\ &= E[(\Phi e_0)^2 + 2\Phi e_0 w_1 + w_1^2] \\ &= \Phi^2 E[(e_0)^2] + 2\Phi E[e_0 w_1] + E[(w_1)^2] \\ &= \Phi^2 P_0 + Q \end{aligned} \quad (10)$$

ดังนั้น ในตัวอย่างนี้ เราจะได้

$$\hat{x}_1^- = 0.8 \times 100 = 80 \quad (11)$$

$$P_1^- = 0.8^2 \times 40000 + 10000 = 35600 \quad (12)$$

สมมติว่าเรามีเซนเซอร์ชนิดหนึ่ง เซนเซอร์ของเรามีข้อจำกัดคือไม่สามารถวัดค่า x_k ได้โดยตรง แต่สามารถวัดค่า z_k ได้ และเรารู้ล่วงหน้าว่า z_k กับ x_k มีความสัมพันธ์กันตามสมการ

$$z_k = Hx_k + v_k \quad (13)$$

เอกสารนี้เป็นเอกสารที่สงวนไว้สำหรับการใช้งานเพื่อการศึกษาเท่านั้น ไม่อนุญาตให้นำไปใช้ประโยชน์ด้านการค้า ไม่ว่าจะกรณีใดๆทั้งสิ้น อีกทั้งห้ามมิให้ดัดแปลงเนื้อหา และต้องอ้างอิงถึงเจ้าของเอกสารทุกครั้งที่มีการนำไปใช้

สมการที่ (13) คือแบบจำลองทางคณิตศาสตร์ของระบบเรียกว่า Measurement Model เพราะอธิบายความสัมพันธ์ระหว่างค่าที่เซ็นเซอร์วัดได้ Z_k กับสถานะของระบบ x_k (1) และ (13) รวมกันเรียกว่าแบบจำลองทางคณิตศาสตร์ของระบบ (System Model) ที่สมบูรณ์ ให้ v_k เป็น Gaussian White Noise มีค่า Mean เท่ากับศูนย์และ Variance เท่ากับ R สมมุติว่า ณ เวลา t_1 เซ็นเซอร์ของเราวัดค่า Z_1 ได้เท่ากับ 30 มีคำถามว่าเราจะสามารถนำค่า $Z_1 = 30$ มาช่วยหาค่าประมาณที่ดีที่สุดที่สุดของ x_1 ได้หรือไม่อย่างไร คำตอบต่อคำถามนี้คือหัวใจของ Kalman Filter Algorithm

Kalman Filter บอกว่าค่าประมาณที่ดีที่สุดที่สุดของ x_1 คือ

$$\hat{x}_1^+ = \hat{x}_1^- + K_1[z_1 - H\hat{x}_1^-] \quad (14)$$

K_1 คือ Kalman Gain ณ เวลา t_1 เครื่องหมายบวกใช้ระบุว่าเป็นการประมาณค่าของ x_1 โดยนำค่าที่เซ็นเซอร์วัดได้มาประกอบการพิจารณาด้วย เราสามารถพิสูจน์ได้ว่า $H\hat{x}_1^-$ คือค่าประมาณ Z_1 ของค่าที่เซ็นเซอร์ควรจะได้ ณ เวลา t_1 จาก

$$\hat{z}_1 = E[z_1] = E[Hx_1 + v_1] = HE[x_1] + E[v_1] = H\hat{x}_1^- \quad (15)$$

เทอม $z_1 - H\hat{x}_1^-$ (หรือ $z_1 - \hat{z}_1$) เรียกว่า *Residual* จะเห็นได้ว่า (14) คือสมการที่ใช้แก้ไข (Update) ค่า \hat{x}_1^- ที่เราคาดการณ์ไว้ล่วงหน้า(ก่อนที่เซ็นเซอร์จะวัดค่าได้) โดยนำผลต่างระหว่างค่าที่เซ็นเซอร์ควรวัดได้กับค่าที่วัดได้จริง มาให้น้ำหนัก (คูณด้วย Kalman Gain K) แล้วนำผลที่ได้มาใช้แก้ไขค่า \hat{x}_1^-

จะสังเกตได้ว่าขนาดของค่าที่นำมาใช้แก้ไข \hat{x}_1^- ส่วนหนึ่งขึ้นอยู่กับขนาดของ Residual $z_1 - H\hat{x}_1^-$ ถ้าค่าที่คาดการณ์ไว้กับค่าที่วัดได้จริงต่างกันมาก (Residual มีค่าสูง)ทำให้จะต้องแก้ไข \hat{x}_1^- มาก ในทางกลับกันถ้าค่าที่คาดการณ์ไว้ต่างจากค่าที่วัดได้จริงเพียงเล็กน้อย(Residual มีค่าต่ำ) ก็ไม่จำเป็นต้องแก้ไข \hat{x}_1^- มากสมมุติว่าเราหาค่าประมาณ \hat{x}_1^+ โดยใช้ (14) (ยังไม่ต้องกังวลว่า Kalman Gain K_k จะมีค่าเป็นเท่าไร) เราสามารถหาค่า Mean และ Variance ของความคลาดเคลื่อนในการประมาณ ได้จาก

$$\begin{aligned} E[e_1^+] &= E[x_1 - \hat{x}_1^+] = E[x_1 - \{\hat{x}_1^- + K_1(z_1 - H\hat{x}_1^-)\}] \\ &= E[e_1^- - K_1(H e_1^- + v_1)] \\ &= E[(1 - K_1 H)e_1^- + K_1 v_1] \\ &= (1 - K_1 H)E[e_1^-] + K_1 E[v_1] = 0 \end{aligned} \quad (16)$$

$$\begin{aligned} P_1^+ &= E[(x_1 - \hat{x}_1^+)^2] = E[(e_1^+)^2] \\ &= E[\{(1 - K_1 H)e_1^- + K_1 v_1\}^2] \\ &= E[\{(1 - K_1 H)e_1^-\}^2 + \{2K_1(1 - K_1 H)e_1^- v_1\} + \{K_1 v_1\}^2] \\ &= (1 - K_1 H)^2 E[(e_1^-)^2] + K_1^2 E[(v_1)^2] \\ &= (1 - K_1 H)^2 P_1^- + K_1^2 R \end{aligned} \quad (17)$$

เอกสารนี้เป็นเอกสารที่สงวนไว้สำหรับการใช้งานเพื่อการศึกษาเท่านั้น ไม่อนุญาตให้นำไปใช้ประโยชน์ด้านการค้า ไม่ว่ากรณีใดๆทั้งสิ้น อีกทั้งห้ามมิให้ดัดแปลงเนื้อหา และต้องอ้างอิงถึงเจ้าของเอกสารทุกครั้งที่มีการนำไปใช้

คำถามต่อไปก็คือจะใช้ค่า Kalman Gain K_1 เป็นเท่าไรจึงจะดีที่สุดสำหรับ Kalman Filter Algorithm ค่า K_1 ที่ดีที่สุดในเรื่องของความน่าจะเป็น คือค่าที่ทำให้ความคลาดเคลื่อนในการประมาณ \hat{x}_1^+ มีค่าต่ำที่สุด ซึ่งก็คือค่า K_1 ที่ทำให้ (18) เป็นจริง

$$\frac{dP_1^+}{dK_1} = 0 \tag{18}$$

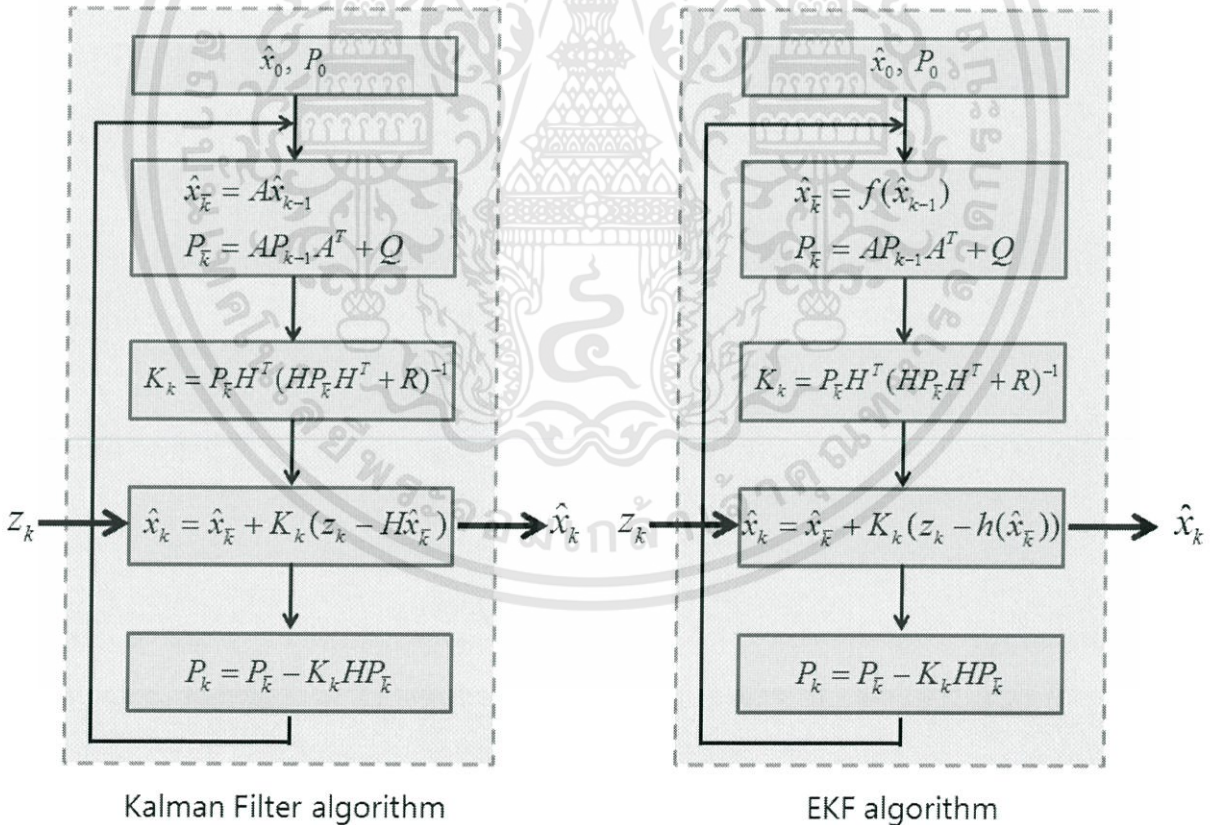
เมื่อ Differentiate (17) เทียบกับ K_1 และให้มีค่าเป็นศูนย์ จะได้

$$\frac{dP_1^+}{dK_1} = -2(1 - K_1 H)P_1^- H + 2K_1 R = 0 \tag{19}$$

จาก (19) เราสามารถหาค่า K_1 ที่ดีที่สุดคือ

$$K_1 = P_1^- H (H^T P_1^- + R)^{-1} \tag{20}$$

เราสามารถนำ Kalman filter algorithm มาสรุปได้ดังรูปด้านล่าง โดยรูปทางซ้ายเป็น อัลกอริทึมของ Linear Kalman ทางซ้ายเป็น Extended Kalman filter สำหรับในกรณีที่เป็น non-linear



รูปที่ 2.13 Kalman Filter algorithm

2.5 มอเตอร์ Brushless

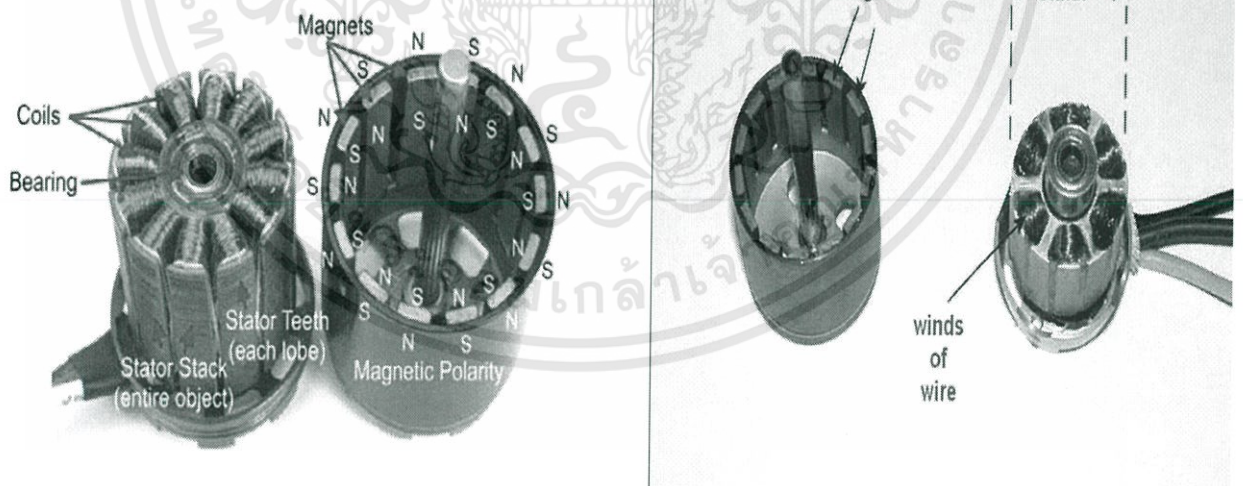
Brushless คือมอเตอร์ชนิดที่ไม่แปรงถ่าน หรือมอเตอร์ซิงโครนัส 3 เฟส ที่ทำงานโดยอาศัยอุปกรณ์อิเล็กทรอนิกส์กำลังเป็นสวิตในการตัดต่อกระแสที่จ่ายให้กับขดลวดมอเตอร์ โดยที่ชนิดของมอเตอร์ จะพิจารณาตามลักษณะรูปคลื่นกระแสและคุณสมบัติของแรงบิดหรือทอร์ก โดยจะนิยมเรียกว่า

brushless dc motor ในกรณีที่มีรูปแบบของกระแสและทอร์กของมอเตอร์ที่ใช้มีลักษณะเป็นแบบสี่เหลี่ยม (trapezoidal current/torque) และจะเรียกว่า brushless ac motor หรือเรียกง่าย ๆ ว่า brushless เมื่อลักษณะกระแสและทอร์ก เป็นรูปคลื่นไซน์ (sinusoidal current/torque format)

ข้อดีของบัสเลส คือ ไม่มีส่วนสัมผัสที่สึกหรอง่ายทำให้มีอายุการใช้งานที่ยาวนานมากและดูแลรักษาได้ง่าย ไม่มีไฟสปาร์คอีกอย่างคือไม่ได้จ่ายไฟตลอดเวลาเหมือน brushed ทำให้มีประสิทธิภาพสูงกว่าและกินไฟน้อยกว่า

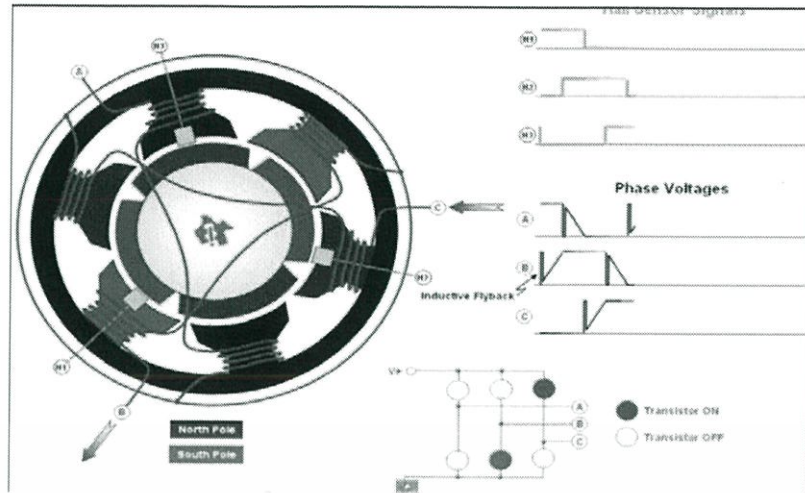
ข้อเสียคือต้องใช้วงจรขับสัญญาณไฟฟ้าให้แก่มอเตอร์ซึ่งยุ่งยากกว่า Brushed ที่เพียงต่อไฟ DC เข้าไปก็หมุนได้ แต่ Brushless ต้องใช้สัญญาณ Pulse DC ที่พอเหมาะ

OUTRUNNER COMPONENTS



รูปที่ 2.14 โครงสร้างของ มอเตอร์ Brushless(ซ้าย) และโครงสร้างของ มอเตอร์ Brushless(ขวา)

เอกสารนี้เป็นเอกสารที่สงวนไว้สำหรับการใช้งานเพื่อการศึกษาเท่านั้น ไม่อนุญาตให้นำไปใช้ประโยชน์ด้านการค้า ไม่ว่าจะกรณีใดๆทั้งสิ้น อีกทั้งห้ามมิให้ดัดแปลงเนื้อหา และต้องอ้างอิงถึงเจ้าของเอกสารทุกครั้งที่มีการนำไปใช้



รูปที่ 2.15 การทำงานของมอเตอร์ Brushless

มอเตอร์กระแสตรงแบบไร้แปรงถ่าน (Brushless DC motor) ที่เลือกใช้มีคุณสมบัติ ดังนี้

1. เป็นมอเตอร์กระแสตรงที่ทำงานโดยอาศัยชุดอุปกรณ์อิเล็กทรอนิกส์ตัดต่อกระแสที่ง่ายให้กับ

ขดลวดมอเตอร์โดยมีความเร็วสูงสุดที่ 1000KV สามารถคำนวณความเร็วได้โดยค่า KV คือ ค่าคงที่ของมอเตอร์ในหน่วยรอบต่อวินาทีต่อโวลต์ ดังนั้นความเร็วที่ได้จะขึ้นอยู่กับการจ่ายความต่างศักย์ของไฟฟ้าให้ในกรณีนี้จะสมมุติให้ความต่างศักย์ของแบตเตอรี่เท่ากับ 12 โวลต์

จะได้ความเร็วคือ $1000 \times 12 = 12000$ รอบต่อนาทีซึ่งรอบที่ได้เพียงพอต่อการสร้างแรงบิดในการยกตัวของเครื่องบินได้(ทั้งนี้การคำนวณ ขึ้นอยู่กับการเลือกขนาดใบพัดด้วย)

2. มีการระบายความร้อนที่ดีเพราะมีขดลวด 3 ชุดอยู่ตรงกลาง และมีตัวหมุน (rotor) ที่เป็นแม่เหล็กถาวรเป็นเปลือกวงกลมอยู่รอบนอก (out runner) ทำให้ระบายความร้อนได้อย่างดี

2.6 เครื่องมือควบคุมความเร็วมอเตอร์แบบอิเล็กทรอนิกส์ (Electronic Speed Controller: ESC)



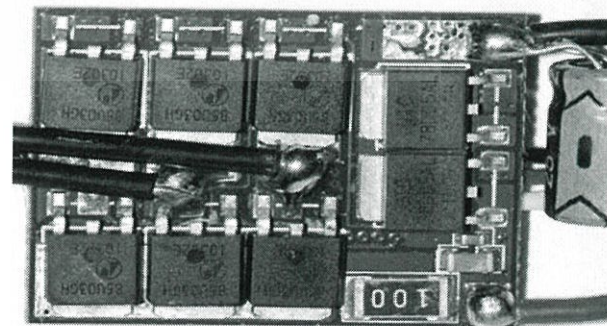
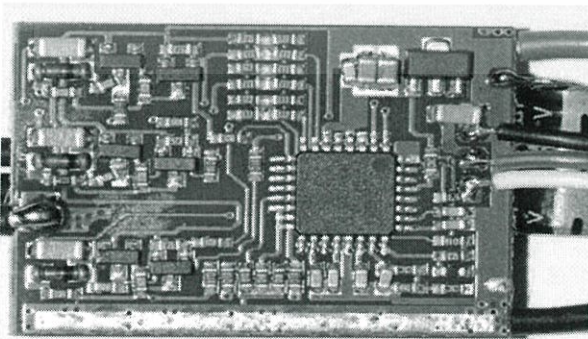
รูปที่ 2.16 Electronic Speed Controller: ESC

ESC ที่เลือกใช้มีคุณสมบัติดังนี้

1. เป็นอุปกรณ์ที่ออกแบบมาสำหรับใช้ควบคุมมอเตอร์ที่ใช้ในเครื่องบินโดยเฉพาะหรือมีชื่อเรียกอีก

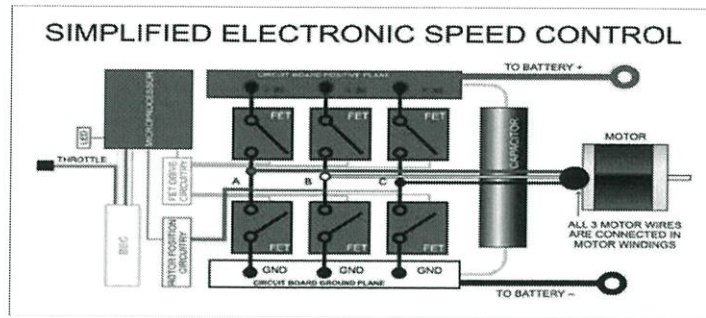
อย่างหนึ่งว่า BEC (Battery Eliminate Circuit) โดยภายในประกอบด้วย วงจร Voltage Regulator สำหรับลดระดับแรงดันของแบตเตอรี่เป็น 5-6 โวลต์ เพื่อใช้ในอุปกรณ์ไฟฟ้าทั้งหมด ของเครื่องบินได้เพียงพอ(สามารถจ่ายให้บอร์ดไมโครคอนโทรลเลอร์ที่ต้องการระดับแรงดัน 5 โวลต์ อื่น ๆ)ได้และใช้ในวงจรของ Speed Control ที่อยู่ในนั้น มีกำรออกแบบโดยใช้ ทรานซิสเตอร์ชนิด FET (Field Effect Transistor) ซึ่งเบอร์ที่ใช้งานนี้สามารถจ่ายกระแสได้สูงสุด ถึง 20 แอมแปร์ เป็นวงจรสำหรับควบคุมมอเตอร์ 3 เฟส โดยการป้อนอินพุตเป็นสัญญาณ PWM และควบคุมมอเตอร์ที่มีรอบสูง ๆ เช่น มอเตอร์ของเครื่องบินบังคับได้

2. สามารถควบคุมความเร็วของมอเตอร์โดยจ่ายสัญญาณพัลส์วidthมอดเตเลชัน (Pulse width modulation) โดยความเร็วที่ได้ขึ้นอยู่กับความกว้างของสัญญาณ PWM ตั้งแต่ 1-2 ms ที่สั่งจ่าย โดยไมโครคอนโทรลเลอร์

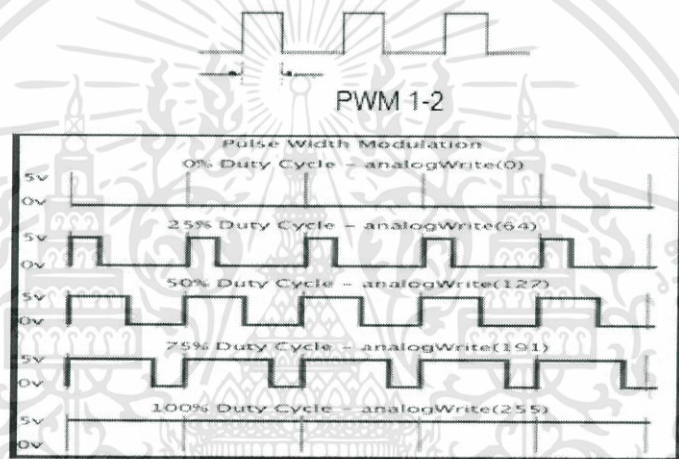


รูปที่ 2.17 รูปอุปกรณ์ภายใน Electronic Speed Controller

เอกสารนี้เป็นเอกสารที่สงวนไว้สำหรับการใช้งานเพื่อการศึกษาเท่านั้น ไม่อนุญาตให้นำไปใช้ประโยชน์ด้านการค้า ไม่ว่าจะกรณีใดๆทั้งสิ้น อีกทั้งห้ามมิให้ดัดแปลงเนื้อหา และต้องอ้างอิงถึงเจ้าของเอกสารทุกครั้งที่มีการนำไปใช้



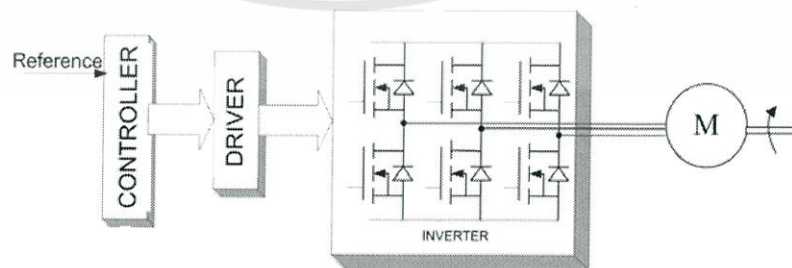
รูปที่ 2.18 วงจรภายใน Electronic Speed Controller
สัญญาณที่ Input ของ Electronic Speed Controller จะเป็นสัญญาณ PWM ตั้งแต่ 1-2 ms โดยความเร็วของมอเตอร์จะขึ้นอยู่กับ Duty Cycle ของ PWM



รูปที่ 2.19 สัญญาณ PWM ที่ เป็น Input ของ Electronic Speed Controller

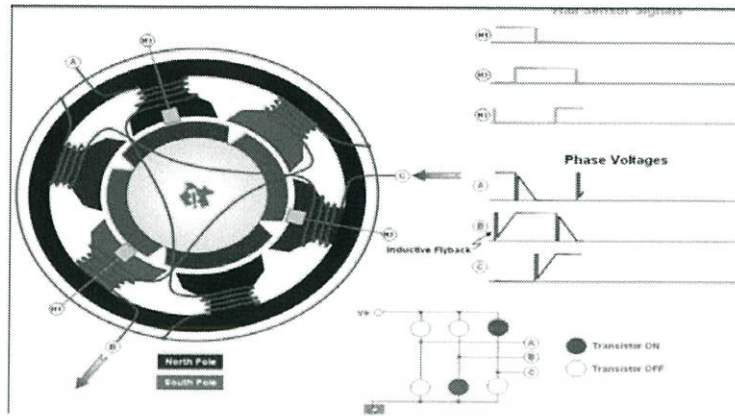
สัญญาณ Output ของ Electronic Speed Controller

สัญญาณ Output จะเป็นสัญญาณ DC 3 เฟส ที่ได้จากการควบคุมการทำงานของทรานซิสเตอร์ ที่ถูกสั่งมาจาก controller โดยทรานซิสเตอร์จะสลับการทำงานทีละ 2 ตัว

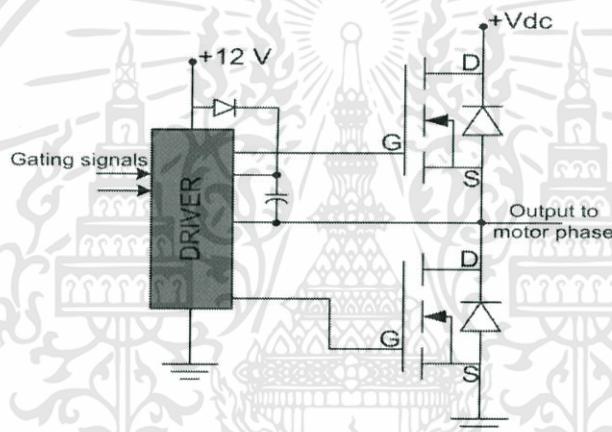


รูปที่ 2.20 บล็อกไดอะแกรม การทำงาน Electronic Speed Controller

เอกสารนี้เป็นเอกสารที่สงวนไว้สำหรับการใช้งานเพื่อการศึกษาเท่านั้น ไม่อนุญาตให้นำไปใช้ประโยชน์ด้านการค้า ไม่ว่าจะกรณีใดๆทั้งสิ้น อีกทั้งห้ามมิให้ดัดแปลงเนื้อหา และต้องอ้างอิงถึงเจ้าของเอกสารทุกครั้งที่มีการนำไปใช้



รูปที่ 2.21 แสดงการทำงานและสัญญาณที่ได้จากการควบคุมของ Electronic Speed Controller



รูปที่ 2.22 วงจร Driver ภายใน Electronic Speed Controller ในแต่ละเฟสของมอเตอร์

Driver จะถูกควบคุมโดย Microprocessor ที่มีอยู่ใน Electronic Speed Controller และทำการประมวลผลจาก สัญญาณ PWM ที่เป็น Input ซึ่งขึ้นอยู่กับ Duty Cycle ของ PWM

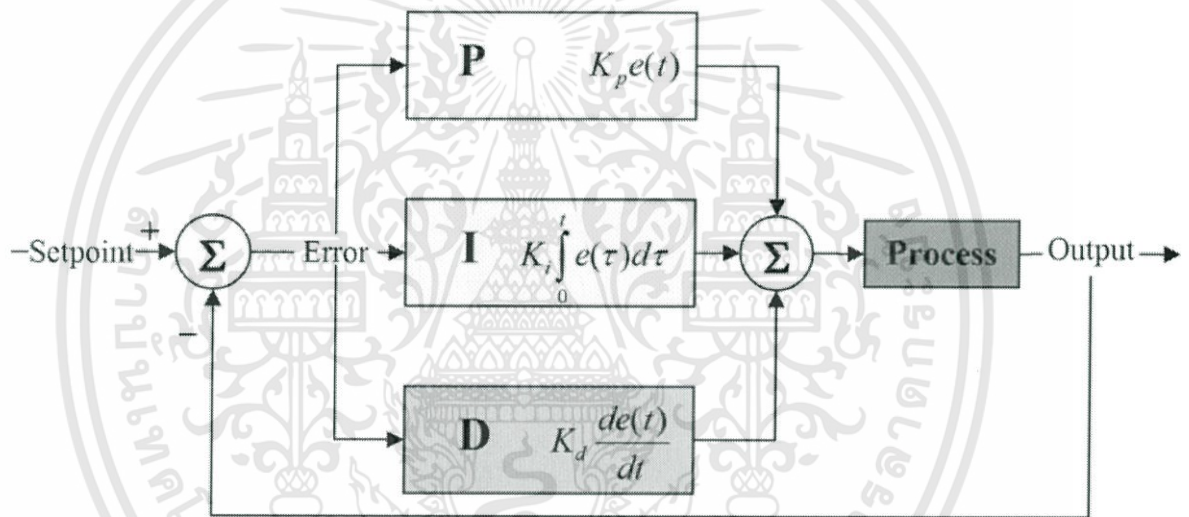
2.7 ระบบควบคุม PID (Proportional-Integral-Derivative)

คอนโทรลเลอร์แบบ PID (หรือ PID controller) จากชื่อจะเห็นได้ว่ามีส่วนสองส่วน คือ คอนโทรลเลอร์ และ PID ส่วนคอนโทรลเลอร์ก็คืออุปกรณ์ในการควบคุมระบบตามที่ต้องการโดยจะมีการตั้งค่า SP (set point : เซ็ตพอยน์ต หรือค่าที่ต้องการ)ไว้ และนำมาเปรียบเทียบกับค่า PV(Process Variable : ตัวแปรกระบวนการหรือค่าจริงที่เกิดจากผลการทำงานจากระบบ) เพื่อให้ได้ค่า Error แล้วคอนโทรลเลอร์จะนำค่า Error นั้นมาทำการปรับแต่งค่าเอาท์พุทหรือ MV (Manipulated Variable : ตัวแปรที่ถูกควบคุม บางทีจะเรียกว่า CV(Control Variable : ตัวแปรใน

เอกสารนี้เป็นเอกสารที่สงวนไว้สำหรับการใช้งานเพื่อการศึกษาเท่านั้น ไม่อนุญาตให้นำไปใช้ประโยชน์ด้านการค้า ไม่ว่าจะกรณีใดๆทั้งสิ้น อีกทั้งห้ามมิให้ดัดแปลงเนื้อหา และต้องอ้างอิงถึงเจ้าของเอกสารทุกครั้งที่มีการนำไปใช้

การคอนโทรล) เพื่อลดค่า Error ให้ได้ต่ำที่สุด ส่วน PID ย่อมาจาก Proportional-Integral-Derivative แปลเป็นไทยก็จะได้ว่า อัตราส่วน-อินทิกรัล-อนุพันธ์ โดย

- 1) Proportional เป็นส่วนปฏิกิริยาต่อ Error ณ ขณะนั้น (Current error)
 - 2) Integral เป็นส่วนปฏิกิริยาที่เกิดจากผลรวมของค่า Error ที่ผ่านมามีค่าสูง (Sum of recent errors)
 - 3) Derivative เป็นส่วนปฏิกิริยาที่เกิดจากอัตราการเปลี่ยนแปลงของค่า Error (Rate at which the error has been changing)
- ผลรวมตามน้ำหนัก (Weighted sum) ของทั้งสาม ซึ่งปรับแต่งโดยค่าคงที่ K_p , K_i , และ K_d เพื่อให้ได้การตอบสนองที่ต้องการ จะถูกนำไปใช้ในการควบคุมกระบวนการต่างๆ



รูปที่ 2.23 Block diagram ของคอนโทรลเลอร์แบบ PID

ทฤษฎีคอนโทรลเลอร์แบบ PID

การควบคุมแบบ PID นั้นประกอบด้วย

$$MV(t) = P_{out} + I_{out} + D_{out} \quad (21)$$

เทอมสำหรับการปรับแต่ง 3 เทอมรวมกันเป็น MV โดยที่ P_{out} , I_{out} และ D_{out} เป็นเอาต์พุตจากแต่ละเทอมตามลำดับ

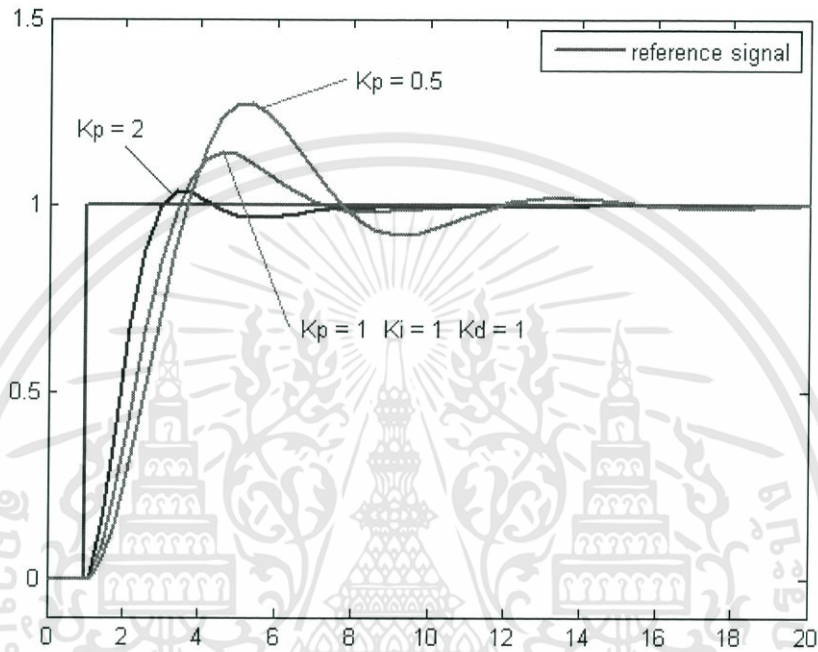
เทอม Proportional

เทอม Proportional เปลี่ยนแปลงตามอัตราส่วนของค่า Error ปัจจุบัน ซึ่งค่า P_{out} สามารถคำนวณได้โดยการนำค่า Error มาคูณกับค่าคงที่ K_p

$$P_{out} = K_p e(t) \quad (22)$$

เอกสารนี้เป็นเอกสารที่สงวนไว้สำหรับการใช้งานเพื่อการศึกษาเท่านั้น ไม่อนุญาตให้นำไปใช้ประโยชน์ด้านการค้า ไม่ว่าจะกรณีใดๆทั้งสิ้น อีกทั้งห้ามมิให้ดัดแปลงเนื้อหา และต้องอ้างอิงถึงเจ้าของเอกสารทุกครั้งที่มีการนำไปใช้

ค่า K_p ที่สูง จะเป็นผลให้ค่าเอาต์พุตมากขึ้นตาม หากค่า K_p มากเกินไป ระบบอาจจะไม่เสถียรได้ ในทางตรงข้ามหากค่า K_p น้อยเกินไปอาจทำให้ระบบตอบสนองช้าเกินไป ซึ่งในกรณีนี้เป็นไปได้ว่า การตอบสนองดังกล่าว อาจจะมีสิ่งรบกวน (Disturbance) ในระบบได้ทันการ เช่นในการเร่งรอบเครื่องยนต์ เมื่อมีโหลตมากกระทำกับเครื่อง หากคอนโทรลเลอร์เร่งรอบเครื่องช้าไม่ทันกับโหลตที่เพิ่มขึ้นมาทันที รอบเครื่องก็จะค่อยๆตกลง และเครื่องก็จะดับในที่สุด



รูปที่ 2.24 PV vs time โดยเปลี่ยนค่า K_p (ค่า K_i และ K_d คงที่)

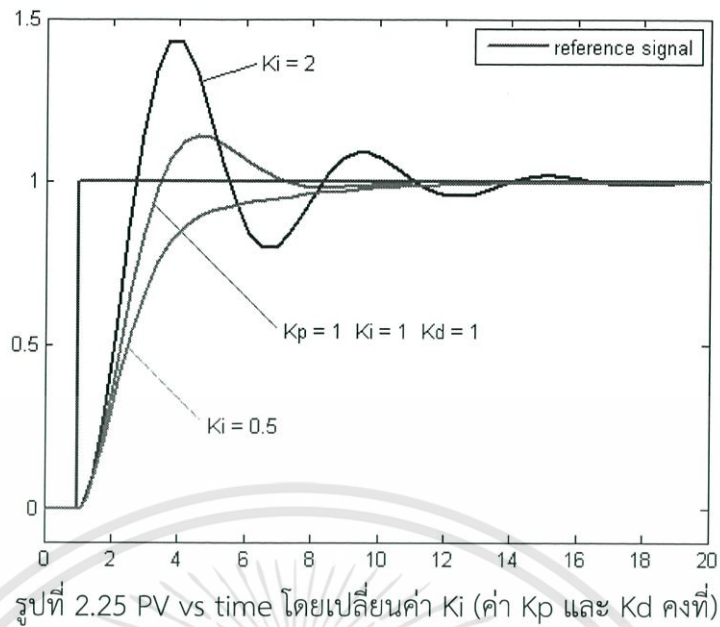
ในกรณีระบบที่ไม่มี Disturbance การใช้เทอม Proportional อย่างเดียวจะทำให้ระบบเกิดการ Oscillate รอบๆ SP จะไม่อยู่ที่ SP พอดี

เทอม Integral

เทอม Integral เป็นอัตราส่วนของค่า Error สะสมในหนึ่งช่วงเวลา (ปัจจุบัน ย้อนไปในอดีต) ค่า I_{out} เกิดจากผลคูณของค่าคงที่ K_i กับผลรวมของ $e(t)$ ซึ่งเป็นค่าสะสมของ Error ที่ควรจะต้องถูกแก้ไขมาก่อนหน้านี้

$$I_{out} = K_i \int_0^t e(t) dt \quad (23)$$

เทอม Integral (เมื่อใช้ร่วมกับเทอม Proportional) จะช่วยเร่งให้ระบบวิ่งเข้าหา SP เร็วขึ้น และช่วยลด Error ที่เกิดจากการใช้เทอม Proportional อย่างเดียว อย่างไรก็ตาม เนื่องจากว่าเทอม Integral นั้นเกิดจากการคำนวณโดยรวม Error ที่เกิดขึ้นในอดีตด้วย อาจจะทำให้เกิด Overshoot เกิน SP ในค่าปัจจุบันด้วย

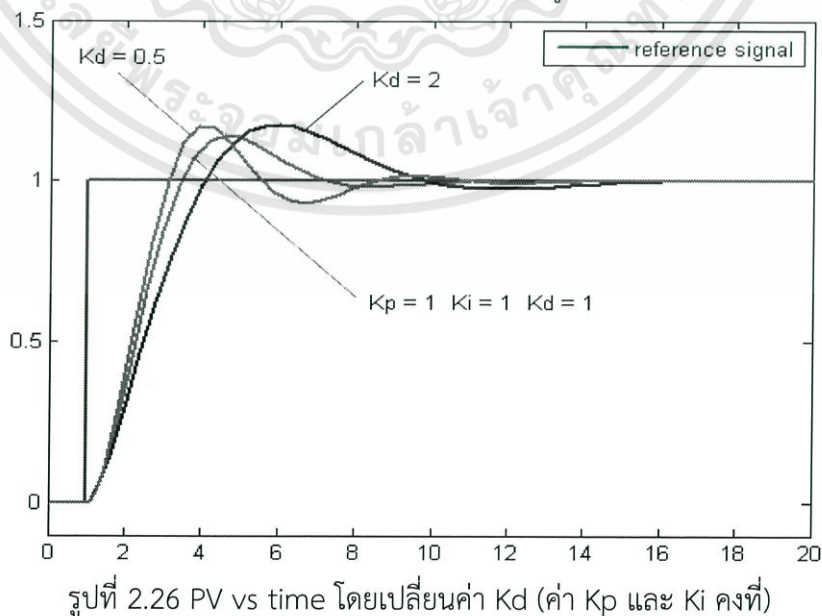


เทอม Derivative

อัตราการเปลี่ยนแปลงของค่า Error ในโปรเซสนั้นคำนวณได้โดยสโลป (Slope) ของกราฟ Error vs time ซึ่งก็คืออนุพันธ์แรกเทียบกับเวลา และคูณค่าสโลปนี้กับค่าคงที่ Kd ก็จะได้เทอม Derivative

$$D_{out} = K_d \frac{de}{dt}(t) \quad (24)$$

เทอม Derivative จะช่วยดึงเอาที่พุ่งจากคอนโทรลเลอร์ให้ช้าลง ซึ่งจะเห็นผลได้ชัดเมื่อโปรเซสเข้าใกล้ Set point ฉะนั้นเทอม Derivative จึงช่วยลดอาการ Overshoot ซึ่งเกิดจากเทอม Integral และช่วยปรับปรุงเสถียรภาพของระบบโดยรวม อย่างไรก็ตาม ค่า Derivative นั้นค่อนข้างไวต่อ Noise ซึ่งอาจทำให้ระบบไม่เสถียรได้ หาก Noise และค่า Kp สูงเกินไป



รวมสามเทอมเข้าด้วยกัน

เมื่อรวมเทอม Proportional, Integral, และ Derivative เข้าด้วยกันก็จะได้ เอาท์พุตจากคอนโทรลเลอร์ PID ดังนี้

$$MV(t) = K_p e(t) + K_i \int_0^t e(t) dt + K_d \frac{de}{dt}(t) \quad (25)$$

โดยค่าพารามิเตอร์ต่างๆ คือ

ค่า Proportional gain, K_p : ค่าที่มากขึ้นหมายถึงการตอบสนองที่เร็วขึ้น เพราะค่า Error ยิ่งมาก ค่าชดเชยจากเทอมนี้ก็จะมากขึ้นตาม ค่า Gain ที่มากเกินไปจะนำไปสู่โปรเซสที่ไม่เสถียรและการแกว่ง(Oscillation)

ค่า Integral gain, K_i : ค่าที่มากขึ้นหมายถึง ค่า error แบบ Steady-state จะถูกกำจัดได้เร็วขึ้น ข้อเสียก็คือ Overshoot ค่า Error ที่เป็นลบจะต้องถูกแก้ด้วย Error ที่เป็นบวก ก่อนที่ระบบจะเข้าสู่ Steady-state

ค่า Derivative gain, K_d : ค่าที่มากขึ้นหมายถึงขนาด Overshoot ที่ลดลง แต่ก็อาจทำให้การตอบสนองช้าลงบ้าง และอาจนำไปสู่ความไม่เสถียรของระบบเนื่องจาก Noise ได้

PID Algorithm

```

previous_error = 0
integral = 0
start:
    error = setpoint - measured_value
    integral = integral + error*dt
    derivative = (error - previous_error)/dt
    output = Kp*error + Ki*integral + Kd*derivative
    previous_error = error
    wait(dt)
    goto start
  
```

การปรับแต่งค่า (Loop Tuning)

ในการปรับแต่งค่ามี 3 วิธีหลักดังนี้

การปรับแต่งด้วยมือ (Manual tuning) จะเริ่มโดยการเซตค่า K_i และ K_d เป็นศูนย์ และค่อยๆ เพื่อค่า K_p เรื่อยๆ จนกระทั่งระบบเริ่มเกิดการแกว่ง จากนั้นให้เซตค่า K_p เป็นครึ่งหนึ่งของค่านั้น จากนั้นให้เริ่มเพิ่มค่า K_i จนได้เวลาการตอบสนองของระบบที่ต้องการ จากนั้นหากจำเป็น เพิ่มค่า K_d จนกระทั่งการควบคุมเร็วพอที่ยอมรับได้โดยเทียบกับเมื่อระบบมี Disturbance อ่างอิง รายละเอียดการปรับแต่งค่า Gain ต่างๆ ด้วยมือมีรายละเอียดเพิ่มเติม ซึ่งผู้ที่สนใจจะต้องศึกษาเพิ่มเติม

การปรับแต่งด้วยวิธี Ziegler–Nichols

จะเริ่มด้วยการเซตค่า K_i และ K_d เป็นศูนย์ จากนั้นจะเพิ่มค่า K_p ไปจนถึงค่า K_c (Critical Gain) ระบบจะเริ่มแกว่ง ให้วัดคาบของการแกว่ง P_c และให้ใช้ตารางข้างล่างเพื่อหาค่า Gain อื่นๆ

วิธี Ziegler–Nichols			
Control Type	K_p	K_i	K_d
P	$0.50 K_c$	–	–
PI	$0.45 K_c$	$1.2 K_p / P_c$	–
PID	$0.60 K_c$	$2 K_p / P_c$	$K_p P_c / 8$

ตาราง ที่ 2.1 วิธี Ziegler–Nichols

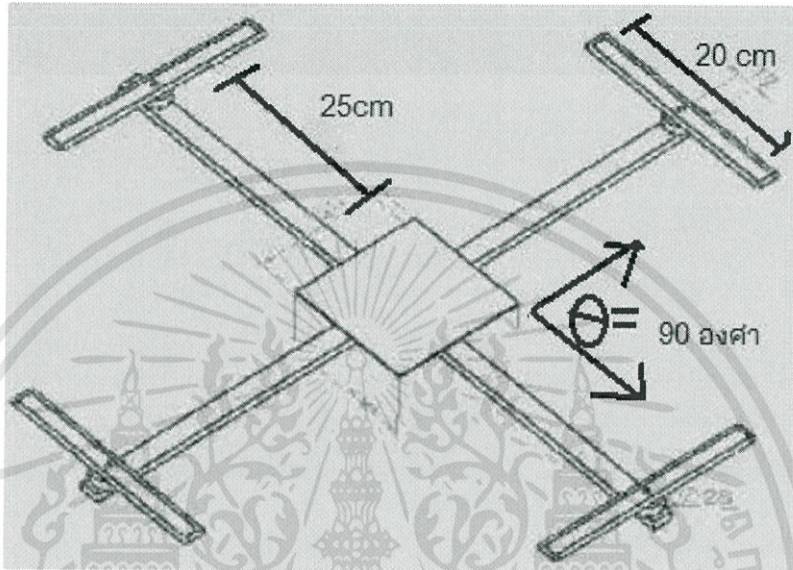
ข้อจำกัดของคอนโทรลเลอร์แบบ PID

ในกรณีที่คอนโทรลเลอร์ทำงานได้ไม่ดีเกิดอาการฮันต์ อาจจะต้องใช้รวมคอนโทรลเลอร์แบบ Feed forward ด้วย โดยการบวกค่า Bias เพิ่มเข้าไปในสมการ $MV(t)$ เนื่องจากคอนโทรลเลอร์ PID เป็นลิเนียร์ (Linear: เชิงเส้น) ในกรณีที่ใช้กับระบบที่เป็นนอนลิเนียร์ (Non-linear: ไม่เป็นเชิงเส้น) เช่น ระบบ HVAC (Heating – Ventilating – Air – Conditioning หรือบางครั้งเรียกว่า Climate control) อาจจะต้องใช้การปรับค่า Gain ตามตารางเวลาหรือใช้คอนโทรลเลอร์แบบ Fuzzy logic แทน

บทที่ 3

การออกแบบ Quad copter

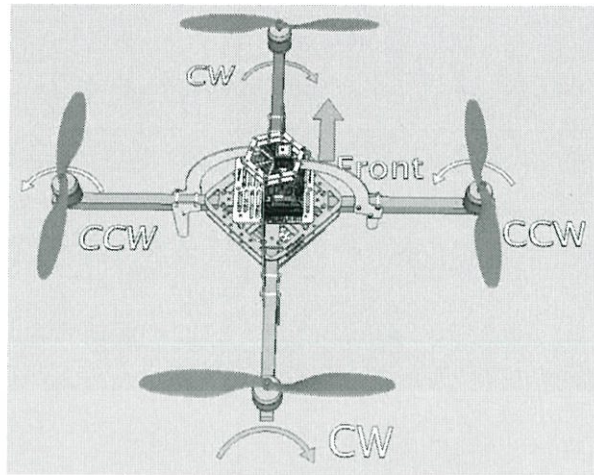
3.1 โครงสร้าง Quad copter และการออกแบบ



รูปที่ 3.1 โครงสร้างพื้นฐานของ Quad copter

จะมีลักษณะเป็นรูปสี่เหลี่ยมสมมาตรเส้นผ่านศูนย์กลาง 50 cm มุมตั้งฉาก 90 องศา ซึ่งจะทำให้ Quad copter มีความสมดุลในการทรงตัวและการบินในอากาศ และจะใช้ใบพัดจำนวน 4 ใบพัด ขนาดเส้นผ่านศูนย์กลางประมาณ 20 cm (8 นิ้ว)

โครงสร้างและการทำงานของ Quad copter ซึ่งจะใช้ใบพัด ทั้งหมด 4 ใบพัด ซึ่งตัวอย่างในการทำงานหรือการบินเบื้องต้น และทิศทางการบิน จะมีลักษณะดังภาพ ลักษณะการบินของ Quad copter และภาพทิศทางการบิน Quad copter



รูปที่3.2 ลักษณะการบินของ Quad copter



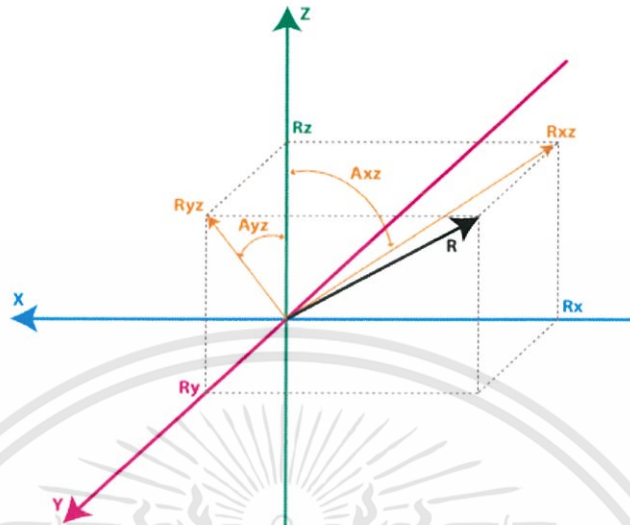
รูปที่3.3 ลักษณะการบินของ Quad copter

จากการศึกษา พบว่าในการทำงานของเครื่องบิน ที่ใช้ 4 ใบพัด มีลักษณะการบิน ดังนี้

- บินขึ้น-บินลง มอเตอร์ทั้ง 4 ตัว หมุนด้วยความเร็วเท่ากัน เพื่อลอยตัว ในแนวตั้ง
- บินเอียงขวา ลดความเร็วมอเตอร์ด้านขวา เพิ่มความเร็วมอเตอร์ด้านซ้าย มอเตอร์หน้าหลังระดับเดียวกัน
- บินเอียงซ้าย ลดความเร็วมอเตอร์ด้านซ้าย เพิ่มความเร็วมอเตอร์ด้านขวา มอเตอร์หน้าหลังระดับเดียวกัน
- บินไปข้างหน้า ลดความเร็วมอเตอร์ด้านหน้า เพิ่มความเร็วมอเตอร์ด้านหลัง มอเตอร์ซ้ายขวาระดับเดียวกัน
- บินไปข้างหลัง ลดความเร็วมอเตอร์ด้านหลัง เพิ่มความเร็วมอเตอร์ด้านหน้า มอเตอร์ซ้ายขวาระดับเดียวกัน
- บินหมุนตัวซ้ายขวา โดยการลดความเร็วมอเตอร์สองตัวที่อยู่ตรงข้ามกันและเพิ่มความเร็วมอเตอร์อีกคู่หนึ่งที่อยู่ตรงข้ามกันพร้อมกัน ตามด้านที่ต้องการหมุน

เอกสารนี้เป็นเอกสารที่สงวนไว้สำหรับการใช้งานเพื่อการศึกษาเท่านั้น ไม่อนุญาตให้นำไปใช้ประโยชน์ด้านการค้า ไม่ว่าจะกรณีใดๆทั้งสิ้น อีกทั้งห้ามมิให้ดัดแปลงเนื้อหา และต้องอ้างอิงถึงเจ้าของเอกสารทุกครั้งที่มีการนำไปใช้

3.2 การใช้ Kalman filter ในการคำนวณหาองศา



รูป 3.4 เวกเตอร์ต่างๆ

$R_{acc} = [R_{xAcc}, R_{yAcc}, R_{zAcc}]$ เป็นเวกเตอร์ของแรงที่กระทำต่อ Accelerometer ซึ่งประกอบด้วย R_{xAcc} R_{yAcc} และ R_{zAcc}

$$|R_{acc}| = \sqrt{R_{xAcc}^2 + R_{yAcc}^2 + R_{zAcc}^2} \quad (26)$$

$$R_{acc}(normalized) = \left[\frac{R_{xAcc}}{|R_{acc}|}, \frac{R_{yAcc}}{|R_{acc}|}, \frac{R_{zAcc}}{|R_{acc}|} \right] \quad (27)$$

กำหนด $Rest = [R_{xEst}, R_{yEst}, R_{zEst}]$ เป็นค่า ทำนาย และค่าที่เราจะนำไปใช้ จากนั้นกำหนดค่าเริ่มต้นโดยใช้ค่าจาก Accelerometer

$$Rest(0) = R_{acc}(0):$$

$$R_{xEst}(0) = R_{xAcc}(0)$$

$$R_{yEst}(0) = R_{yAcc}(0)$$

$$R_{zEst}(0) = R_{zAcc}(0)$$

$Rest(n-1)$ คือการประมาณค่าก่อนหน้า

กำหนด เวกเตอร์ขึ้นมาใหม่ ซึ่งเป็นค่าที่มาจาก Gyroscope และ ค่าประมาณก่อนหน้า

$$R_{gyro} = [R_{xGyro}, R_{yGyro}, R_{zGyro}]$$

จากรูป 3.5 สังเกตความสัมพันธ์ของ Gyroscope กับ R_z และ R_{xz} จาก พีธากอรัส

$$\tan(A_{xz}) = \frac{R_x}{R_z} \Rightarrow A_{xz} = \tan^{-1} \frac{R_x}{R_z} \quad (28)$$

ดังนั้น

$$A_{xz}(n-1) = \tan^{-1} \frac{R_{xEst}(n-1)}{R_{zEst}(n-1)} \quad (29)$$

Gyroscope วัดอัตราการเปลี่ยนแปลงของมุม ดังนั้นเราจึงทำนายมุมใหม่ได้

$$A_{xz}(n) = A_{xz}(n-1) + Rate A_{xz} \times T \quad (30)$$

$$A_{yz}(n) = A_{yz}(n-1) + Rate A_{yz} \times T \quad (31)$$

เราจะนำค่า $A_{xz}(n)$ และ $A_{yz}(n)$ นี้ไปใช้งาน จากนั้นจะทำการปรับปรุงค่าประมาณขึ้นใหม่

$$|R_{Gyro}| = \sqrt{R_{xGyro}^2 + R_{yGyro}^2 + R_{zGyro}^2} \quad (32)$$

$$|R_{Gyro}| = 1 \quad (33)$$

$$\begin{aligned} R_{xGyro} &= \frac{R_{xGyro}}{1} = \frac{R_{xGyro}}{\sqrt{R_{xGyro}^2 + R_{yGyro}^2 + R_{zGyro}^2}} \\ &= \frac{R_{xGyro}}{\sqrt{R_{xGyro}^2 + R_{zGyro}^2}} \\ &= \frac{R_{xGyro}}{\sqrt{\frac{R_{xGyro}^2 + R_{yGyro}^2 + R_{zGyro}^2}{R_{xGyro}^2 + R_{zGyro}^2}}} \\ &= \frac{R_{xGyro}}{\sqrt{1 + \frac{R_{yGyro}^2 R_{zGyro}^2}{R_{zGyro}^2 (R_{xGyro}^2 + R_{zGyro}^2)}}} \end{aligned}$$

$$\text{จาก } \frac{R_{xGyro}}{\sqrt{R_{xGyro}^2 + R_{zGyro}^2}} = \sin(A_{xz}), \quad \frac{R_{zGyro}}{\sqrt{R_{xGyro}^2 + R_{zGyro}^2}} = \cos(A_{xz})$$

เอกสารนี้เป็นเอกสารที่สงวนไว้สำหรับการใช้งานเพื่อการศึกษาเท่านั้น ไม่อนุญาตให้นำไปใช้ประโยชน์ด้านการค้า ไม่ว่าจะกรณีใดๆทั้งสิ้น อีกทั้งห้ามมิให้ดัดแปลงเนื้อหา และต้องอ้างอิงถึงเจ้าของเอกสารทุกครั้งที่มีการนำไปใช้

$$\text{และ } \frac{R_{yGyro}}{R_{zGyro}} = \tan(Ayz) \text{ จะได้}$$

$$R_{xGyro}(n) = \frac{\sin(Axz(n))}{\sqrt{1 + [\cos(Axz(n))]^2 [\tan(Axz(n))]^2}} \quad (34)$$

ทำนองเดียวกัน

$$R_{yGyro}(n) = \frac{\sin(Ayz(n))}{\sqrt{1 + [\cos(Ayz(n))]^2 [\tan(Axz(n))]^2}} \quad (35)$$

และจาก สมการที่ 32 และ 33

จะได้

$$R_{zGyro} = \pm \sqrt{1 - R_{xGyro}^2 - R_{yGyro}^2} \quad (36)$$

R_{Gyro} เป็นค่าที่ได้จาก $Rest(n-1)$ และ จาก Gyroscope ในปัจจุบัน

กำหนดให้ w_1, w_2 เป็น weight

ดังนั้นจะได้ค่าประมาณเป็น :

$$R_{est}(n) = \frac{w_1 R_{acc} + w_2 R_{gyro}}{w_1 + w_2} = \frac{\frac{w_1}{w_1} R_{acc} + \frac{w_2}{w_1} R_{gyro}}{\frac{w_1}{w_1} + \frac{w_2}{w_1}} = \frac{R_{acc} + W R_{gyro}}{1 + W}$$

$$R_{xEst}(n) = \frac{R_{xAcc} + W R_{xGyro}}{1 + W} \quad (37)$$

$$R_{yEst}(n) = \frac{R_{yAcc} + W R_{yGyro}}{1 + W} \quad (38)$$

$$R_{zEst}(n) = \frac{R_{zAcc} + W R_{zGyro}}{1 + W} \quad (39)$$

เอกสารนี้เป็นเอกสารที่สงวนไว้สำหรับการใช้งานเพื่อการศึกษาเท่านั้น ไม่อนุญาตให้นำไปใช้ประโยชน์ด้านการค้า ไม่ว่าจะกรณีใดๆทั้งสิ้น อีกทั้งห้ามมิให้ดัดแปลงเนื้อหา และต้องอ้างอิงถึงเจ้าของเอกสารทุกครั้งที่มีการนำไปใช้

จากนั้น Normalize

$$R = \sqrt{R_{xEst}^2 + R_{yEst}^2 + R_{zEst}^2} \quad (40)$$

$$R_{xEst}(n) = \frac{R_{xEst}(n)}{R} \quad (41)$$

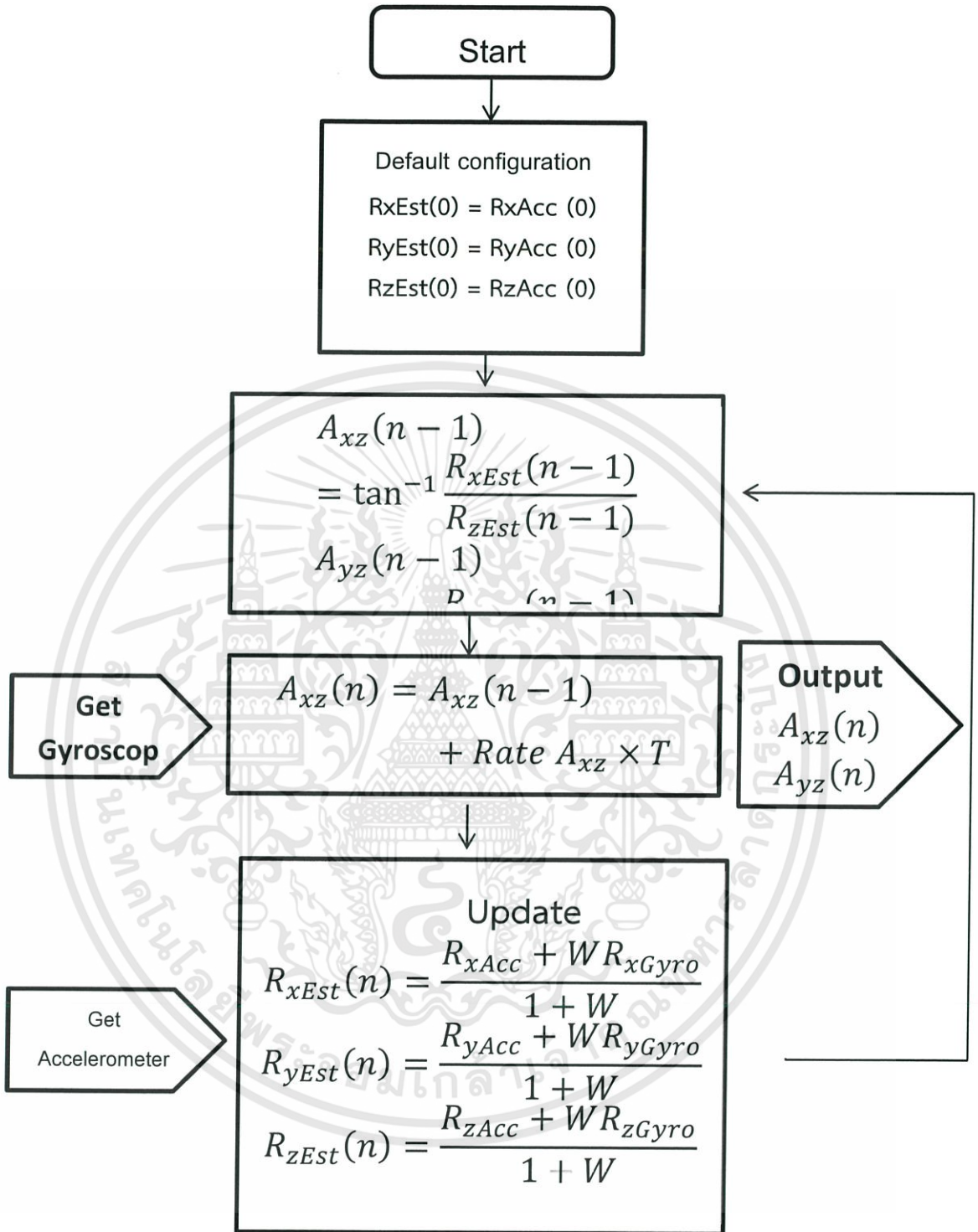
$$R_{yEst}(n) = \frac{R_{yEst}(n)}{R} \quad (42)$$

$$R_{zEst}(n) = \frac{R_{zEst}(n)}{R} \quad (43)$$

จากนั้นก็จะวนเพื่อทำอีกรอบ



เอกสารนี้เป็นเอกสารที่สงวนไว้สำหรับการใช้งานเพื่อการศึกษาเท่านั้น ไม่อนุญาตให้นำไปใช้ประโยชน์ด้านการค้า
ไม่ว่ากรณีใดๆทั้งสิ้น อีกทั้งห้ามมิให้ดัดแปลงเนื้อหา และต้องอ้างอิงถึงเจ้าของเอกสารทุกครั้งที่มีการนำไปใช้



รูปที่ 3.5 โพลซาร์ตการทำงานของ Algorithm

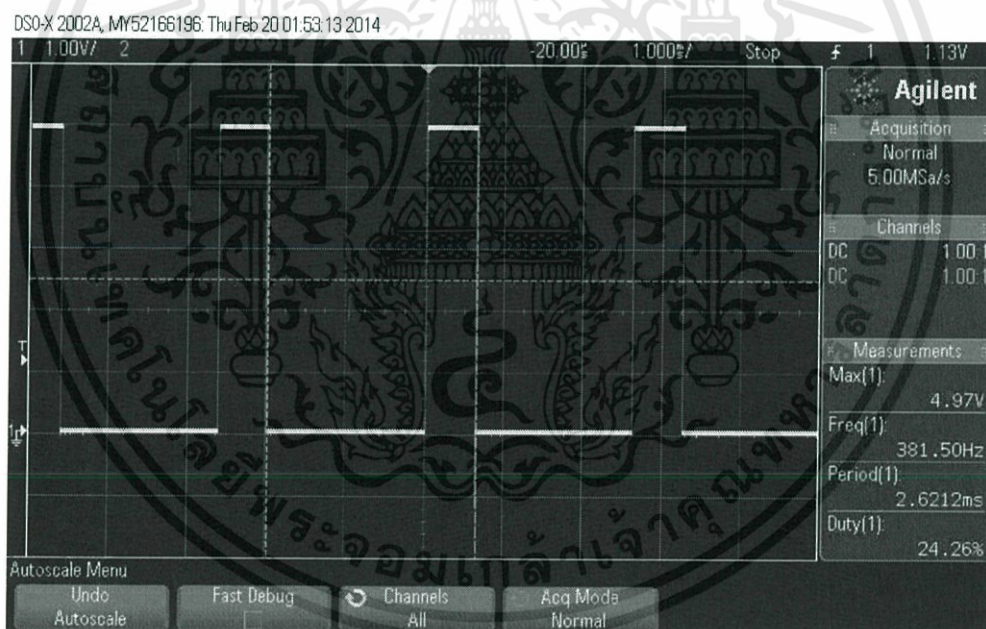
3.3 การสร้าง PWM

กำหนดฐานเวลาอ้างอิง ในที่นี่จะใช้ timer1ซึ่ง timer1 จะนับค่าได้สูงสุด 65536 ค่า และใช้ปริสเกลเลอร์ขนาด 8 บิต โดยกำหนดให้ 1 รอบการทำงานของ timer ใช้เวลาเท่ากับ 0.0025 วินาที หรือ ความถี่ในการเกิด Over flow เท่ากับ 400 Hz ซึ่งเป็นความถี่ที่ใช้ในการควบคุม ESC (*Electronic speed control*)

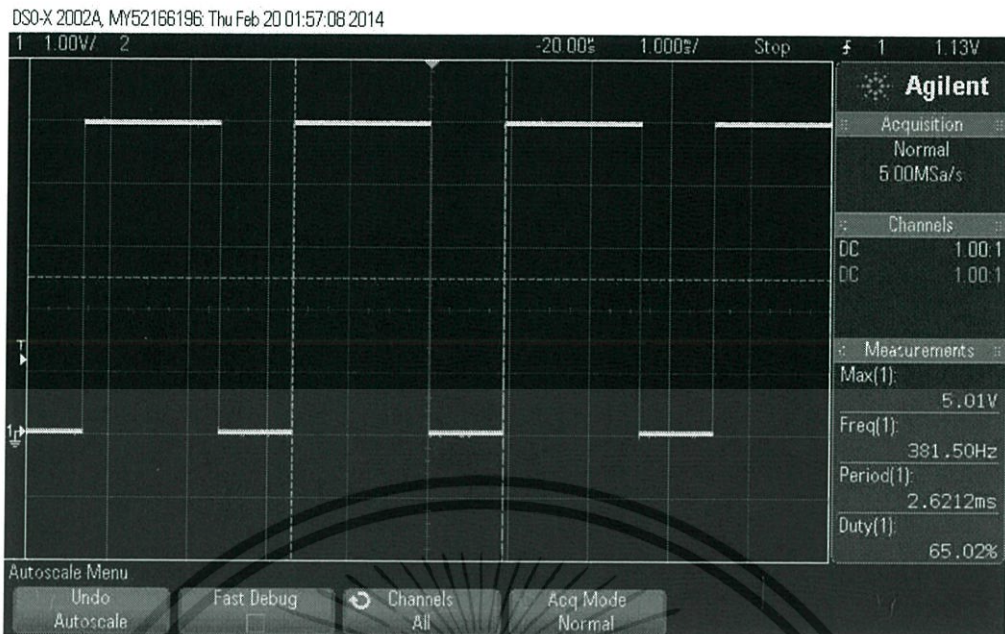
ทำการคำนวณหาจำนวนในการนับเพื่อสร้าง Duty cycle เช่น ถ้าต้องการ Duty cycle 30%

$$\text{จำนวนการนับ} = \frac{30 \times 65536}{100} = 19660$$

เมื่อเกิดการ Interrupt เนื่องจาก Over flow จะสั่งให้สัญญาณขาออกเป็น High แล้วจากนั้นจะใช้ Interrupt ccp ในโหมดเปรียบเทียบข้อมูล ว่าเท่ากับค่าจำนวนการนับที่คำนวณไว้หรือไม่ ถ้าเท่าก็ให้สัญญาณขาออกเป็น Low จากนั้นก็รอให้เกิดการ Interrupt เนื่องจาก Over flow เพื่อกลับไปทำซ้ำไปซ้ำมาเรื่อยๆ



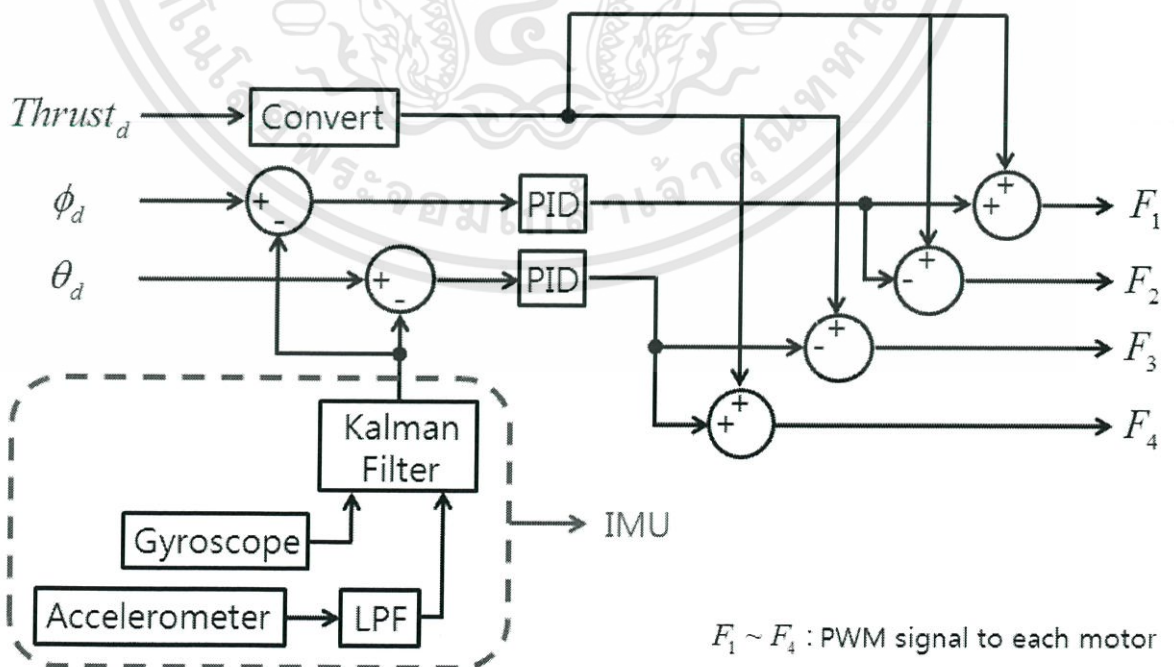
รูปที่ 3.6 สัญญาณ PWM ที่มอเตอร์เริ่มหมุน



รูปที่ 3.7 สัญญาณ PWM ที่ตัวเครื่อง Quad copter เริ่มยกตัวขึ้นจากพื้นได้

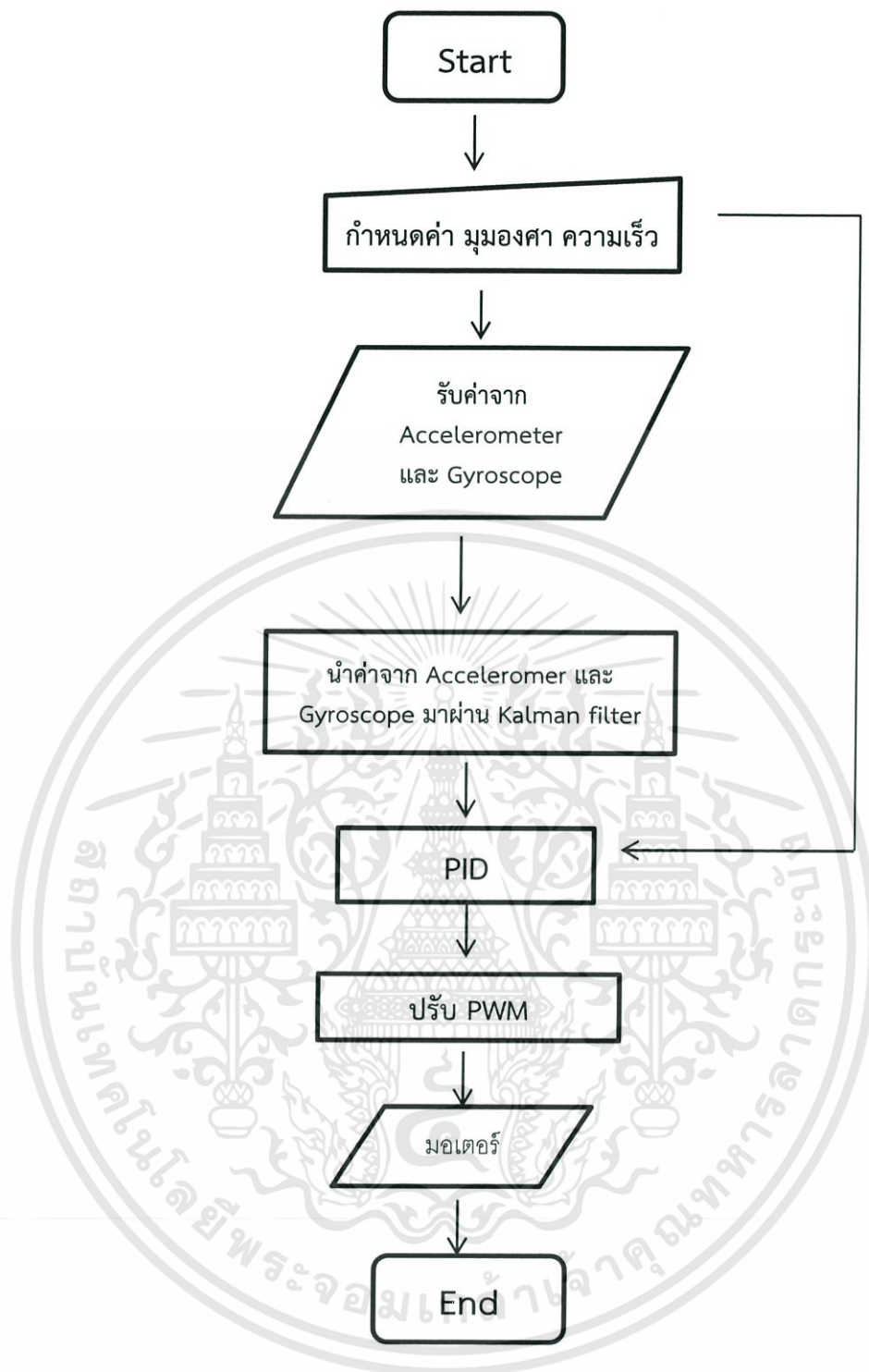
3.4 ระบบควบคุม PID (Proportional-Integral-Derivative)

เราจะใช้ระบบควบคุม PID เพื่อมาในการควบคุมองศาของคอปเตอร์โดยจะทำการเปรียบเทียบองศาที่เรากำหนดกับองศาปัจจุบันที่ได้จาก Kalman filter มาเป็นค่า Error แล้วนำค่า Error นั้นมาเข้ากระบวนการ PID



รูปที่ 3.8 ระบบควบคุม

เอกสารนี้เป็นเอกสารที่สงวนไว้สำหรับการใช้งานเพื่อการศึกษาเท่านั้น ไม่อนุญาตให้นำไปใช้ประโยชน์ด้านการค้า ไม่ว่าจะกรณีใดๆทั้งสิ้น อีกทั้งห้ามมิให้ดัดแปลงเนื้อหา และต้องอ้างอิงถึงเจ้าของเอกสารทุกครั้งที่มีการนำไปใช้

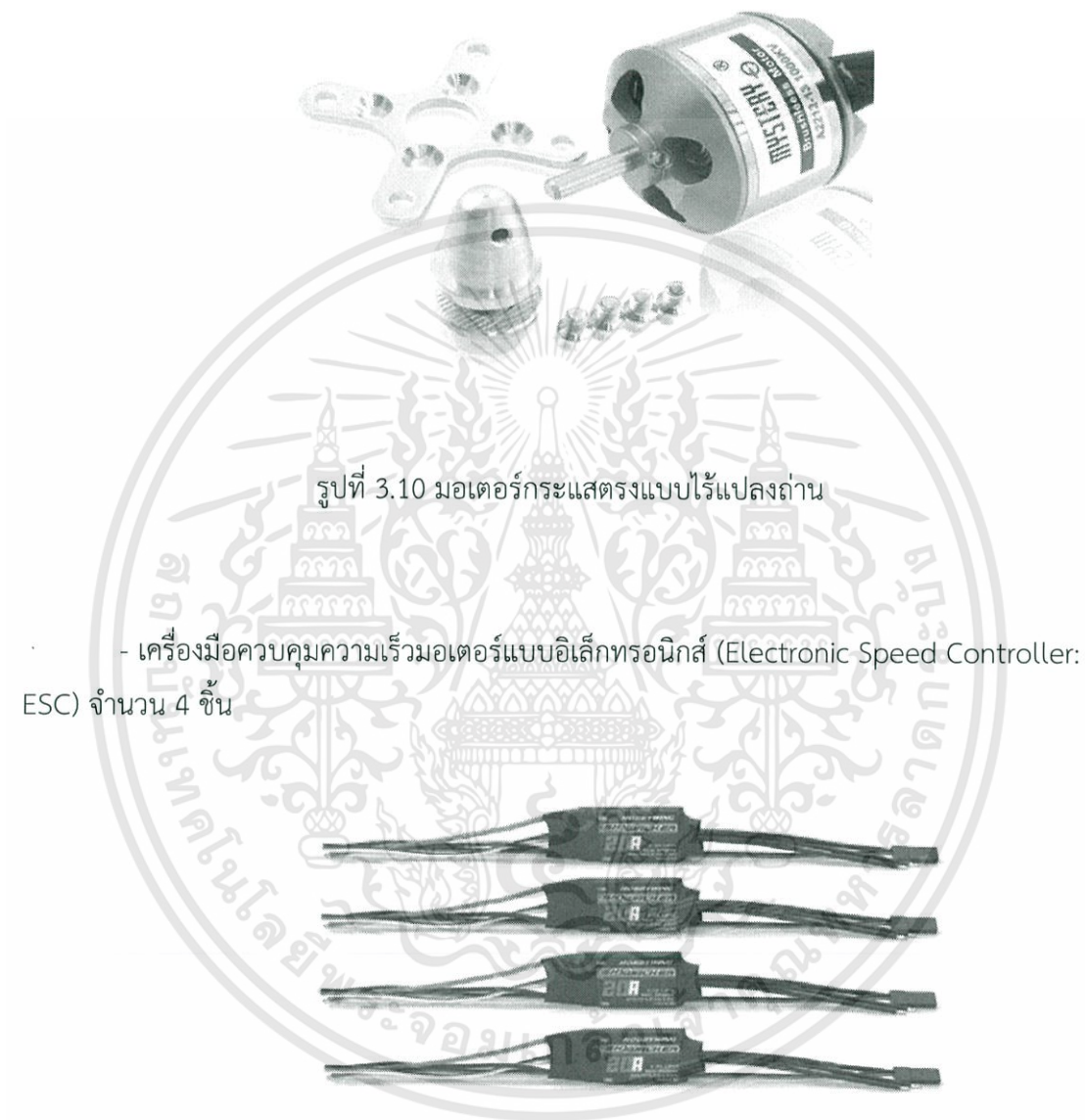


รูปที่ 3.9 โฟลชาร์ตการทำงานของระบบ

เอกสารนี้เป็นเอกสารที่สงวนไว้สำหรับการใช้งานเพื่อการศึกษาเท่านั้น ไม่อนุญาตให้นำไปใช้ประโยชน์ด้านการค้า ไม่ว่าจะกรณีใดๆทั้งสิ้น อีกทั้งห้ามมิให้ดัดแปลงเนื้อหา และต้องอ้างอิงถึงเจ้าของเอกสารทุกครั้งที่มีการนำไปใช้

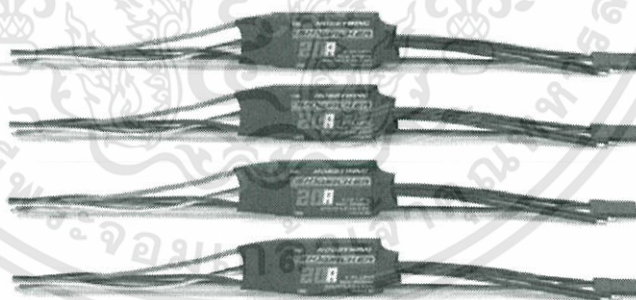
3.5 อุปกรณ์สำคัญ

-มอเตอร์กระแสตรงแบบไร้แปรงถ่าน (Brushless DC motor) จำนวน 4 ชิ้น



รูปที่ 3.10 มอเตอร์กระแสตรงแบบไร้แปรงถ่าน

- เครื่องมือควบคุมความเร็วมอเตอร์แบบอิเล็กทรอนิกส์ (Electronic Speed Controller: ESC) จำนวน 4 ชิ้น



รูปที่ 3.11 เครื่องมือควบคุมความเร็วมอเตอร์

เอกสารนี้เป็นเอกสารที่สงวนไว้สำหรับการใช้งานเพื่อการศึกษาเท่านั้น ไม่อนุญาตให้นำไปใช้ประโยชน์ด้านการค้า ไม่ว่าจะกรณีใดๆทั้งสิ้น อีกทั้งห้ามมิให้ดัดแปลงเนื้อหา และต้องอ้างอิงถึงเจ้าของเอกสารทุกครั้งที่มีการนำไปใช้

-ใบพัด ขนาด8 นิ้ว จำนวน 4 ใบ



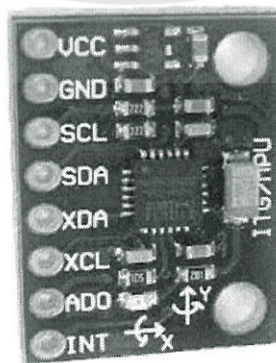
รูปที่ 3.12 ใบพัด

-แบตเตอรี่ แบบลิโพลี Lipo HeliCox 11.1V 3000 mAh 30C 3Cell Nano-Platium



รูปที่ 3.13 แบตเตอรี่

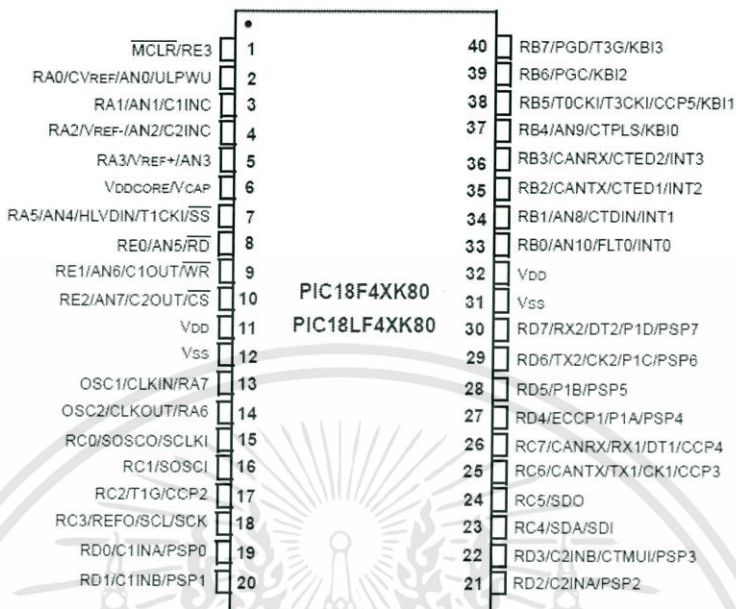
-เซนเซอร์ MPU-6050 เป็นเซนเซอร์ Accelerometer และ Gyroscope ด้วยกัน



รูปที่ 3.14 เซนเซอร์ MPU-6050

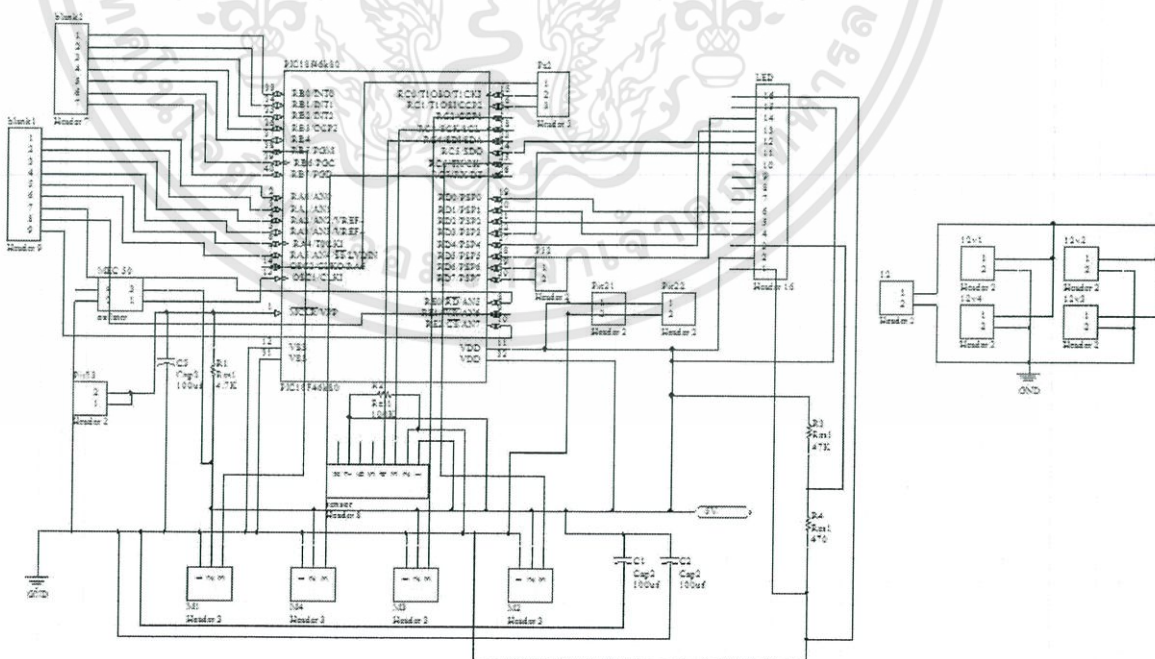
เอกสารนี้เป็นเอกสารที่สงวนไว้สำหรับการใช้งานเพื่อการศึกษาเท่านั้น ไม่อนุญาตให้นำไปใช้ประโยชน์ด้านการค้า ไม่ว่าจะกรณีใดๆทั้งสิ้น อีกทั้งห้ามมิให้ดัดแปลงเนื้อหา และต้องอ้างอิงถึงเจ้าของเอกสารทุกครั้งที่มีการนำไปใช้

-ไมโครคอนโทรลเลอร์ PIC 18F46K80



รูปที่ 3.15 PIC 18F46K80

3.6 วงจร ท่ออกแบบ



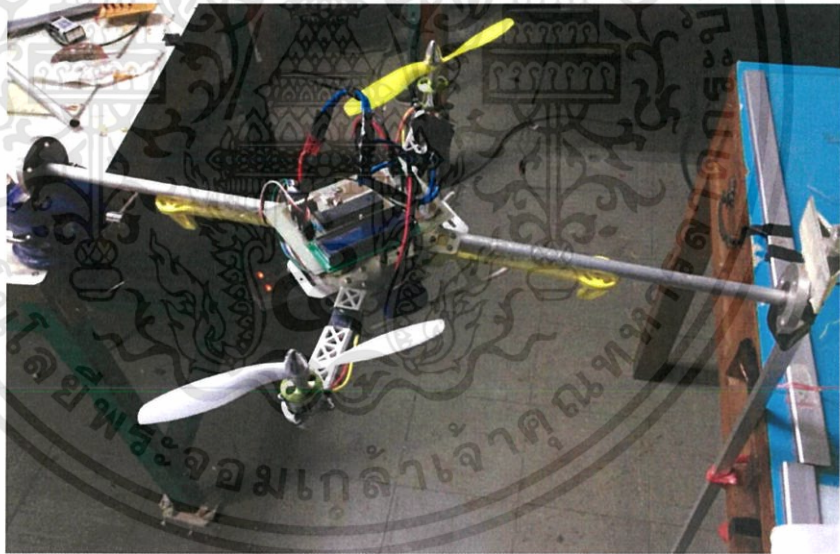
รูปที่ 3.16 วงจรท่อออกแบบ

เอกสารนี้เป็นเอกสารที่สงวนไว้สำหรับการใช้งานเพื่อการศึกษาเท่านั้น ไม่อนุญาตให้拿去ใช้ประโยชน์ด้านการค้า ไม่ว่าจะกรณีใดๆทั้งสิ้น อีกทั้งห้ามมิให้ดัดแปลงเนื้อหา และต้องอ้างอิงถึงเจ้าของเอกสารทุกครั้งที่มีการนำไปใช้

3.7 ตัวเครื่องQuad Copter



รูปที่ 3.17 ตัวเครื่องที่ประกอบเสร็จ



รูปที่ 3.18 การต่ออุปกรณ์ทำการทดลองการควบคุมด้วยระบบ PID

เอกสารนี้เป็นเอกสารที่สงวนไว้สำหรับการใช้งานเพื่อการศึกษาเท่านั้น ไม่อนุญาตให้นำไปใช้ประโยชน์ด้านการค้า ไม่ว่าจะกรณีใดๆทั้งสิ้น อีกทั้งห้ามมิให้ดัดแปลงเนื้อหา และต้องอ้างอิงถึงเจ้าของเอกสารทุกครั้งที่มีการนำไปใช้

บทที่ 4

ผลการทดลอง

4.1 การทดลองการปรับค่า ระบบ PID (Proportional-Integral-Derivative)

จากทฤษฎีบทที่ 2.7 ด้วยวิธีการการปรับแต่งด้วยมือ จากการทดลองทำให้ได้ค่าผลการทดลองที่เหมาะสมดังนี้

ค่า Gain	ค่าที่ได้จากการทดลอง
Kp	0.007
Ki	0.005
Kd	0.04

ตารางที่ 4.1 ผลการทดลองหาค่า Gain ที่เหมาะสม

-เนื่องจากใช้ค่า dt ในโปรแกรมมีค่ามาก ดังนั้นค่า Gain ต่างๆที่ใช้เลยมีค่าน้อย
 -ค่า K_p มีค่าน้อยเพราะป้องกันไม่ให้ระบบไม่เสถียรเนื่องจากการปรับความเร็วของมอเตอร์
 ปรับได้ไม่ทันโปรแกรม ผู้ทดลองจึงปรับให้มีผลของค่า K_p น้อยๆ

4.2 ผลการทดลองการควบคุมการทรงตัวของเฮลิคอปเตอร์ด้วยระบบ PID

การควบคุมการทรงตัวของเฮลิคอปเตอร์ด้วยระบบ PID (Proportional-Integral-Derivative) โดยการรบกวนระบบทำให้เฮลิคอปเตอร์ไปอยู่ในระดับองศาต่างๆ แล้วให้เฮลิคอปเตอร์ทำการปรับสมดุลกลับไปยังองศาที่กำหนดโดยอัตโนมัติจากผลการทดลองได้ผลการทดลองตามตารางดังต่อไปนี้

ผลการทดลอง		
องศาที่กำหนด (องศา)	การรบกวนระบบ (องศา)	เวลา (วินาที)
140	100	5.40
	120	5.20
	140	0.00
	160	4.80
	180	4.50
	200	3.10
	220	3.50
	240	4.00
	260	4.40
เวลาเฉลี่ย		4.36
160	100	5.30
	120	4.40
	140	3.90
	160	0.00
	180	4.40
	200	3.90
	220	4.10
	240	4.70
	260	4.40
เวลาเฉลี่ย		4.39
180	100	4.40
	120	4.00
	140	4.20
	160	3.40
	180	0.00
	200	3.40
	220	3.50
	240	5.40
	260	5.40
เวลาเฉลี่ย		4.21

ตารางที่ 4.2 ผลการทดลองการควบคุมการทรงตัวของเฮลิคอปเตอร์ด้วยระบบ PID

เอกสารนี้เป็นเอกสารที่สงวนไว้สำหรับการใช้งานเพื่อการศึกษาเท่านั้น ไม่อนุญาตให้นำไปใช้ประโยชน์ด้านการค้า
ไม่ว่ากรณีใดๆทั้งสิ้น อีกทั้งห้ามมิให้ดัดแปลงเนื้อหา และต้องอ้างอิงถึงเจ้าของเอกสารทุกครั้งที่มีการนำไปใช้

200	100	3.30
	120	3.20
	140	3.90
	160	3.50
	180	3.20
	200	0.00
	220	4.00
	240	3.10
	260	3.10
เวลาเฉลี่ย		3.41
220	100	5.60
	120	4.70
	140	4.30
	160	4.20
	180	3.60
	200	2.90
	220	0.00
	240	3.00
	260	3.90
เวลาเฉลี่ย		4.03

ตารางที่ 4.2 ผลการทดลองการควบคุมการทรงตัวของเฮลิคอปเตอร์ด้วยระบบ PID (ต่อ)

เอกสารนี้เป็นเอกสารที่สงวนไว้สำหรับการใช้งานเพื่อการศึกษาเท่านั้น ไม่อนุญาตให้นำไปใช้ประโยชน์ด้านการค้า
ไม่ว่ากรณีใดๆทั้งสิ้น อีกทั้งห้ามมิให้ดัดแปลงเนื้อหา และต้องอ้างอิงถึงเจ้าของเอกสารทุกครั้งที่มีการนำไปใช้

บทที่ 5

วิเคราะห์และสรุปผลการทดลอง

วิเคราะห์และสรุปผลการทดลอง

5.1 Kalman filter

Kalman filter ที่ใช้สามารถแก้ปัญหาการสั่นของเซนเซอร์ได้ส่วนหนึ่ง แต่ความเร็วสูงๆซึ่งการสั่นมากขึ้นยังมีความคลาดเคลื่อนขององศาอยู่ประมาณ 5-10 องศา

5.2 การควบคุมด้วยระบบ PID (Proportional-Integral-Derivative)

PID (Proportional-Integral-Derivative) สามารถใช้ควบคุมการทรงตัวของเฮลิคอปเตอร์ 4 ใบพัดได้ ซึ่งเมื่อทำการรบกวนระบบเฮลิคอปเตอร์จะกลับคืนสู่องศาที่กำหนดได้อย่างรวดเร็ว ตามตารางที่ 4.1 ทำให้เฮลิคอปเตอร์สามารถทรงตัวได้ โดยขึ้นอยู่กับค่า PID ที่เหมาะสม

ในการสร้างเฮลิคอปเตอร์ 4 ใบพัด ยังมีความไม่สมบูรณ์ตรงที่ Kalman filter ที่ใช้ไม่ใช่ค่ามาลที่สมบูรณ์คือค่า Gain ที่ใช้เป็นค่าคงที่ซึ่งจะให้ค่าที่ “ดีพอ” แต่ถ้าเราเปลี่ยนไปใช้ค่า Kalman gain เลยซึ่งเป็นค่าที่มีของทางหลักการสถิติ และค่าสามารถปรับตัวเองได้เพื่อให้ได้ค่าที่ “ดีที่สุด” และในส่วนของการปรับ PID อาจจะยังไม่สมบูรณ์เนื่องจากความไม่เป็นเชิงเส้นของระบบ ซึ่งอาจสามารถแก้ได้โดยการใช้ Fuzzy มาแก้ปัญหาดังนี้ได้

เอกสารอ้างอิง

- [1] Hutchinson, C. E.(1984): *The Kalman Filter Applied to Aerospace and Electronic Systems*. IEEE Transactions on Aerospace and Electronic Systems, Vol.20, No.4, July 1984, pp.500-504.
- [2] Gelb, A. (Editor).(1996): *Applied Optimal Estimation*. The M.I.T. Press - Fourteenth Printing, Cambridge, Massachusetts, and London, England 1996.
- [3] น.ต.ดร. กฤษฎา แสงเพชรส่อง.(2547). แนวคิดพื้นฐานและ หลักการทางานของ Kalman Filter Algorithm,วารสาร โรงเรียนนายเรือ, ตุลาคม – ธันวาคม พ.ศ. 2547,หน้า 37 – 48.
- [4] Chul woo Kang and Chan Gook Park.(2009). Attitude estimation with Accelerometer and Gyros using fuzzy tuned Kalman filter. Proceedings of European control conference 2009. Budapest, Hungary, August 23 – 26
- [5] Jorge Miguel Brito Domingues.(2009), Quadrotor prototype, Instituto superior tecnico, University Tecnica de Lisboa, 2009.
- [6] Jean-Jacques E. Slotine, Weiping Li. (1991). *Applied Nonlinear Control*, ISBN: 0-13-040049-1, Prentice-Hall, Inc.
- [7] น.ต.กัปตัน เตียวตระกูล. ทบทวนความรู้แบบ PID. วารสารกรมอิเล็กทรอนิกส์ทหารเรือ ปีที่ 15 ฉบับที่ 16
- [8] A Guide To using IMU (Accelerometer and Gyroscope Devices) in Embedded Applications. (http://www.starlino.com/imu_guide.html)
- [9] PID controller From Wikipedia, the free encyclopedia (http://en.wikipedia.org/wiki/PID_controller)



เอกสารนี้เป็นเอกสารที่สงวนไว้สำหรับการใช้งานเพื่อการศึกษาเท่านั้น ไม่อนุญาตให้นำไปใช้ประโยชน์ด้านการค้า
ไม่ว่ากรณีใดๆทั้งสิ้น อีกทั้งห้ามมิให้ดัดแปลงเนื้อหา และต้องอ้างอิงถึงเจ้าของเอกสารทุกครั้งที่มีการนำไปใช้


```

    if(fall4>0){
        output_high(PIN_B5);}
}
#INT_CCP2
void CCP2_isr()
{
    output_low(PIN_C2);
}
#INT_CCP3
void CCP3_isr()
{
    output_low(PIN_C6);
}
#INT_CCP4
void CCP4_isr()
{
    output_low(PIN_C7);
}
#INT_CCP5
void CCP5_isr()
{
    output_low(PIN_B5);
}
//////////END PWM//////////

//////////FUNCTION I2C//////////
int write(unsigned char Control, unsigned
char data)
{
    i2c_start();
    i2c_write(MPU6050_ADDRESS);
    i2c_write(control);
    i2c_write(data);
    i2c_stop();
    return 0;
}
int read(unsigned char control, unsigned
char *data)
{
    i2c_start();
    i2c_write(MPU6050_ADDRESS);
    i2c_write(control);
    i2c_start();
    i2c_write(MPU6050_ADDRESS | 0x01);
    *data=i2c_read(0);
    i2c_stop();
    return 0;
}
//////////END FUNCTION
I2C//////////

//////////CONFIG MPU//////////
void setupMPU()
{
    write(MPU6050_RA_SMPLRT_DIV, 0x01);

    write(MPU6050_RA_CONFIG, 0x03);
    write(MPU6050_RA_GYRO_CONFIG,
0b00001000);
    write(MPU6050_RA_ACCEL_CONFIG,
0b00001000);

    write(MPU6050_RA_FF_THR, 0x00);
    write(MPU6050_RA_FF_DUR, 0x00);
    write(MPU6050_RA_MOT_THR, 0x00);
    write(MPU6050_RA_MOT_DUR, 0x00);
    write(MPU6050_RA_ZRMOT_THR, 0x00);
    write(MPU6050_RA_ZRMOT_DUR, 0x00);
    write(MPU6050_RA_FIFO_EN, 0x00);
    write(MPU6050_RA_I2C_MST_CTRL, 0x00);
    write(MPU6050_RA_I2C_SLV0_ADDR,
0x00);
    write(MPU6050_RA_I2C_SLV0_REG, 0x00);
    write(MPU6050_RA_I2C_SLV0_CTRL,
0x00);
}

```

เอกสารนี้เป็นเอกสารที่สงวนไว้สำหรับการใช้งานเพื่อการศึกษาเท่านั้น ไม่อนุญาตให้นำไปใช้ประโยชน์ด้านการค้า
ไม่ว่ากรณีใดๆทั้งสิ้น อีกทั้งห้ามมิให้ดัดแปลงเนื้อหา และต้องอ้างอิงถึงเจ้าของเอกสารทุกครั้งที่มีการนำไปใช้

```

write(MPU6050_RA_I2C_SLV1_ADDR, 0x00);
write(MPU6050_RA_I2C_SLV1_REG, 0x00);
write(MPU6050_RA_I2C_SLV1_CTRL, 0x00);
write(MPU6050_RA_I2C_SLV2_ADDR, 0x00);
write(MPU6050_RA_I2C_SLV2_REG, 0x00);
write(MPU6050_RA_I2C_SLV2_CTRL, 0x00);
write(MPU6050_RA_I2C_SLV3_ADDR, 0x00);
write(MPU6050_RA_I2C_SLV3_REG, 0x00);
write(MPU6050_RA_I2C_SLV3_CTRL, 0x00);
write(MPU6050_RA_I2C_SLV4_ADDR, 0x00);
write(MPU6050_RA_I2C_SLV4_REG, 0x00);
write(MPU6050_RA_I2C_SLV4_DO, 0x00);
write(MPU6050_RA_I2C_SLV4_CTRL, 0x00);
write(MPU6050_RA_I2C_SLV4_DI, 0x00);

write(MPU6050_RA_I2C_SLV0_DO, 0x00);
write(MPU6050_RA_I2C_SLV1_DO, 0x00);
write(MPU6050_RA_I2C_SLV2_DO, 0x00);
write(MPU6050_RA_I2C_SLV3_DO, 0x00);
write(MPU6050_RA_I2C_MST_DELAY_CTRL, 0x00);

write(MPU6050_RA_SIGNAL_PATH_RESET, 0x00);
write(MPU6050_RA_MOT_DETECT_CTRL, 0x00);
write(MPU6050_RA_USER_CTRL, 0x00);
write(MPU6050_RA_PWR_MGMT_1, 0b00000010);
write(MPU6050_RA_PWR_MGMT_2, 0x00);
write(MPU6050_RA_FIFO_R_W, 0x00);

}
////////////////////////////////////
////////////////////////////////////KALMAN////////////////////////////////////
signed int16 ACCEL_XOUT;
signed int16 ACCEL_YOUT;
signed int16 ACCEL_ZOUT;
float ACCEL_FXOUT;
float ACCEL_FYOUT;
float ACCEL_FZOUT;

signed int16 GYRO_XOUT;
signed int16 GYRO_YOUT;
signed int16 GYRO_ZOUT;
float GYRO_FXOUT;
float GYRO_FYOUT;
float GYRO_FZOUT;
float GYRO_OUT;
float Axz=0;
float Ayz=0;
float RxAcc=0;
float RyAcc=0;
float RzAcc=0;
float RxEst=0;
float RyEst=0;
float RzEst=0;
float RzGyro;
#define w 15 //weight KALMAN

void Get_Accel_Values()
{
int16 ACCEL_XOUT_H=0;
int16 ACCEL_XOUT_L=0;
int16 ACCEL_YOUT_H=0;
int16 ACCEL_YOUT_L=0;
int16 ACCEL_ZOUT_H=0;
int16 ACCEL_ZOUT_L=0;
float r;

```

เอกสารนี้เป็นเอกสารที่สงวนไว้สำหรับการใช้งานเพื่อการศึกษาเท่านั้น ไม่อนุญาตให้นำไปใช้ประโยชน์ด้านการค้า ไม่ว่าจะกรณีใดๆทั้งสิ้น อีกทั้งห้ามมิให้ดัดแปลงเนื้อหา และต้องอ้างอิงถึงเจ้าของเอกสารทุกครั้งที่มีการนำไปใช้

```

        read(MPU6050_RA_ACCEL_XOUT_H,
&ACCEL_XOUT_H);
        read(MPU6050_RA_ACCEL_XOUT_L,
&ACCEL_XOUT_L);
        read(MPU6050_RA_ACCEL_YOUT_H,
&ACCEL_YOUT_H);
        read(MPU6050_RA_ACCEL_YOUT_L,
&ACCEL_YOUT_L);
        read(MPU6050_RA_ACCEL_ZOUT_H,
&ACCEL_ZOUT_H);
        read(MPU6050_RA_ACCEL_ZOUT_L,
&ACCEL_ZOUT_L);

        ACCEL_XOUT =
~(((ACCEL_XOUT_H<<8)|ACCEL_XOUT_L)-1);
        ACCEL_YOUT =
~(((ACCEL_YOUT_H<<8)|ACCEL_YOUT_L)-1);
        ACCEL_ZOUT =
~(((ACCEL_ZOUT_H<<8)|ACCEL_ZOUT_L)-1);

        ACCEL_FXOUT=(float)ACCEL_XOUT/8192;
        ACCEL_FYOUT=(float)ACCEL_YOUT/8192;
        ACCEL_FZOUT=(float)ACCEL_ZOUT/8192;

r=sqrt((ACCEL_FXOUT*ACCEL_FXOUT)+(ACCEL_FYOUT*ACCEL_FYOUT)+(ACCEL_FZOUT*ACCEL_FZOUT));
        RxAcc=ACCEL_FXOUT/r;
        RyAcc=ACCEL_FYOUT/r;
        RzAcc=ACCEL_FZOUT/r;
}

void Get_Gyro_Values()
{
int16 GYRO_XOUT_H=0;
int16 GYRO_XOUT_L=0;
int16 GYRO_YOUT_H=0;

int16 GYRO_ZOUT_H=0;
int16 GYRO_ZOUT_L=0;
int16 GYRO_YOUT_L=0;

        read(MPU6050_RA_GYRO_XOUT_H,
&GYRO_XOUT_H);
        read(MPU6050_RA_GYRO_XOUT_L,
&GYRO_XOUT_L);
        read(MPU6050_RA_GYRO_YOUT_H,
&GYRO_YOUT_H);
        read(MPU6050_RA_GYRO_YOUT_L,
&GYRO_YOUT_L);
        read(MPU6050_RA_GYRO_ZOUT_H,
&GYRO_ZOUT_H);
        read(MPU6050_RA_GYRO_ZOUT_L,
&GYRO_ZOUT_L);

        GYRO_XOUT =
~(((GYRO_XOUT_H<<8)|GYRO_XOUT_L)-1);
        GYRO_YOUT =
~(((GYRO_YOUT_H<<8)|GYRO_YOUT_L)-1);
        GYRO_ZOUT =
~(((GYRO_ZOUT_H<<8)|GYRO_ZOUT_L)-1);

        GYRO_FXOUT=(float)GYRO_XOUT/65.5;
        GYRO_FYOUT=(float)GYRO_YOUT/65.5;
        GYRO_FZOUT=(float)GYRO_ZOUT/65.5;

        GYRO_OUT=sqrt((GYRO_FXOUT*GYRO_FXOUT)+(GYRO_FYOUT*GYRO_FYOUT)+(GYRO_FZOUT*GYRO_FZOUT));
        GYRO_FXOUT=GYRO_FXOUT/GYRO_OUT;
        GYRO_FYOUT=GYRO_FYOUT/GYRO_OUT;
        GYRO_FZOUT=GYRO_FZOUT/GYRO_OUT;
}

void kalman()
{

```

เอกสารนี้เป็นเอกสารที่สงวนไว้สำหรับการใช้งานเพื่อการศึกษาเท่านั้น ไม่อนุญาตให้นำไปใช้ประโยชน์ด้านการค้า ไม่ว่าจะกรณีใดๆทั้งสิ้น อีกทั้งห้ามมิให้ดัดแปลงเนื้อหา และต้องอ้างอิงถึงเจ้าของเอกสารทุกครั้งที่มีการนำไปใช้

```

float RxGyro,RyGyro;
float r=0;

Axz=atan2(RxEst,RzEst);
Ayz=atan2(RyEst,RzEst);
Axz=Axz+GYRO_FYOUT*0.02;
Ayz=Ayz+GYRO_FXOUT*0.02;

RxGyro=(sin(Axz))/(sqrt(1+(cos(Axz)*cos(Axz))*t
an(Ayz)*tan(Ayz)));
RyGyro=(sin(Ayz))/(sqrt(1+(cos(Ayz)*cos(Ayz)*
tan(Axz)*tan(Axz)));
if(RzEst<0){
    RzGyro=-1*(sqrt(1-(RxGyro*RxGyro)-
(RyGyro*RyGyro)));
}
else if(RzEst>0){
    RzGyro=sqrt(1-(RxGyro*RxGyro)-
(RyGyro*RyGyro));
}
RxEst=(RxAcc+(RxGyro*w))/(w+1);
RyEst=(RyAcc+(RyGyro*w))/(w+1);
RzEst=(RzAcc+(RzGyro*w))/(w+1);

r=sqrt((RxEst*RxEst)+(RyEst*RyEst)+(RzEst*RzE
st));
RxEst=RxEst/r;
RyEst=RyEst/r;
RzEst=RzEst/r;
}
////////////////////////////////////
//
void main()
{
int de=0; //delay for kalman
int dela=0;
//int16 xx=170;
//int16 yy=170;

int force=55; //duty max of motor
int16 degreeX=140;
int16 degreeY=180;
int start=24; //duty start motor
int b=0; //step
float DAyz=0;
float DAxz=0;

////////////////////////////////////
float NAyz=0;
float cy=0;
float erY=0;
float pre_erY=0; //precious-error
float integralY=0; //integral
float dvY=0; //derivative
float NAXz=0;
float cx=0;
float erX=0;
float pre_erX=0; //precious-error
float integralX=0; //integral
float dvX=0; //derivative
////////////////////////////////////
////////////////////////////////////SET PWM////////////////////////////////////
set_tris_c(0);
set_tris_b(0);
enable_interrupts(GLOBAL);
enable_interrupts(INT_TIMER1);
enable_interrupts(INT_CCP2);
enable_interrupts(INT_CCP3);
enable_interrupts(INT_CCP4);
enable_interrupts(INT_CCP5);
setup_timer_1(T1_INTERNAL|T1_DIV_BY_1);
set_timer1(0);
setup_ccp2(CCP_COMPARE_INT);
setup_ccp3(CCP_COMPARE_INT);

```

เอกสารนี้เป็นเอกสารที่สงวนไว้สำหรับการใช้งานเพื่อการศึกษาเท่านั้น ไม่อนุญาตให้นำไปใช้ประโยชน์ด้านการค้า
ไม่ว่ากรณีใดๆทั้งสิ้น อีกทั้งห้ามมิให้ดัดแปลงเนื้อหา และต้องอ้างอิงถึงเจ้าของเอกสารทุกครั้งที่มีการนำไปใช้

```

setup_ccp4(CCP_COMPARE_INT);
setup_ccp5(CCP_COMPARE_INT);

set_duty1(start+0.2);
CCP_2=fall1;
set_duty2(start+0.1);
CCP_3=fall2;
set_duty3(start-0.1);
CCP_4=fall3;
set_duty4(start-0.3);
CCP_5=fall4;
delay_ms(9000);
////////////////////////////////////

//////////check MPU////////////////////////////////////
unsigned char data;
lcd_init();
read(MPU6050_RA_WHO_AM_I, &data);
lcd_gotoxy(1,1);
printf(lcd_putc,"%x ",data);
delay_ms(200);
////////////////////////////////////

setupMPU(); //config MPU

//////////Begin KALMAN////////////////////////////////////
Get_Accel_Values();
RxAcc=RxEst;
RyAcc=RyEst;
RzAcc=RzEst;
////////////////////////////////////

while(true)
{
    Get_Gyro_Values();
    Get_Accel_Values();
    kalman();

    DAYz=Ayz*57.295;
    DAYx=Axz*57.295;
    if(dela>15)
    {
        lcd_gotoxy(1,1);
        printf(lcd_putc,"%f %f \n%f
%f",cx,cy,NAxz,NAyz);
        dela=0;
    }
    dela++;

    if((start<force)&&(b==0))
    {
        set_duty1(start+0.2);
        CCP_2=fall1;
        set_duty2(start+0.1);
        CCP_3=fall2;
        set_duty3(start-0.1);
        CCP_4=fall3;
        set_duty4(start-0.3);
        CCP_5=fall4;
        start++;
        delay_ms(700);
    }
    if((start>=force)&&(b==0))
    {
        if(de>=80)
        {
            b=1;
            delay_ms(1000);
        }
        de++;
    }
    if(b==1)
    {
        set_duty1(force+0.1);
        CCP_2=fall1;

```

เอกสารนี้เป็นเอกสารที่สงวนไว้สำหรับการใช้งานเพื่อการศึกษาเท่านั้น ไม่อนุญาตให้นำไปใช้ประโยชน์ด้านการค้า
ไม่ว่ากรณีใดๆทั้งสิ้น อีกทั้งห้ามมิให้ดัดแปลงเนื้อหา และต้องอ้างอิงถึงเจ้าของเอกสารทุกครั้งที่มีการนำไปใช้

